9 de octubre de 2026
Archivo No. 01204123.21-13

Sr. Baitong Chen
Distrito de Gestión de la Calidad del Aire de la Costa Sur
21865 Copley Drive
Diamond Bar, California 91765

Asunto: Determinación del Límite Mensual de la Zona de Mitigación de Reacciones
Vertedero de Chiquita Canyon – Castaic, California

Estimado Sr. Chen:

En cumplimiento con las Condiciones No. 9(a) y 9(b) de la Orden de Depuración Estipulada (SOFA) Modificada relacionada con el Vertedero de Chiquita Canyon (el Vertedero o las Instalaciones) (Caso No. 6177-4), modificada por última vez el 3 de junio de 2026, SCS Engineers (SCS), en nombre de Chiquita Canyon, LLC (Chiquita), ha elaborado esta determinación del límite de la Zona de Mitigación de Reacciones determinada por datos para septiembre de 2026, considerando los siguientes criterios:

- Temperaturas en las bocas de pozos verticales de biogás (LFG) (mayores a 160 grados Fahrenheit).
- Mediciones de sondas de monitoreo de temperatura (TMP) (mayores a 170 grados Fahrenheit por más de 3 semanas en cualquier profundidad).
- Calidad del biogás y relación metano/CO_2 (CH_4:CO_2) (concentraciones de metano de menos del 30 por ciento junto con relaciones de CH_4:CO_2 menores a 1.0).
- Concentración de monóxido de carbono (CO) en el biogás (mayor a 1,500 ppm), hasta donde se mide.
- Concentración de hidrógeno (H_2) en el biogás (mayor al 2 por ciento por volumen), hasta donde se mide.
- Asentamiento del vertedero (18 pulgadas o más dentro de un período de 60 días).
- Liberaciones de lixiviados presurizados.

Estos parámetros han estado sujetos a una evaluación acumulativa dentro de cada cuadrícula de superficie individual del vertedero dentro del Cañón Principal (es decir, excluyendo las cuadrículas 1 a 29, como también las cuadrículas 105 a 144), incluyendo todos los pozos de biogás, sondas de temperatura y otras características dentro del área de esa cuadrícula. Para cada cuadrícula individual del vertedero que esté contigua a la Zona de Mitigación de Reacciones del mes anterior donde tres parámetros o más indicados arriba están presentes al momento de la evaluación, incluyendo cualquier combinación de pozos, sondas de temperatura o áreas dentro de la cuadrícula, el límite de la Zona de Mitigación de Reacciones representado en el mapa de la Zona de Mitigación de Reacciones (**Adjunto A**) incluye esa(s) cuadrícula(s) del vertedero.

Para cada cuadrícula individual del vertedero que no esté contigua a la Zona de Mitigación de Reacciones del mes anterior, si los tres parámetros presentes incluyen un parámetro de temperatura (el primer o segundo parámetro indicado arriba), la cuadrícula se ha agregado a la Zona de Mitigación de Reacciones. Para cada cuadrícula individual del vertedero que no esté contigua a la Zona de Mitigación de Reacciones del mes anterior, si los tres parámetros presentes no incluyen un parámetro de temperatura, Chiquita realizó pruebas de campo de CO utilizando tubos colorimétricos y de H2 utilizando instrumentación de campo. Si las pruebas de campo confirmaron la presencia de CO o de H2 en concentraciones que exceden los límites inferiores de la instrumentación (100 ppm para

CO y 1 por ciento por volumen para H2), se obtuvo una muestra de LFG de la boca del pozo, que se sometió a pruebas analíticas de laboratorio utilizando el Método ALT-144 de la EPA de los EE.UU. para CO y el Método D-1946 de ASTM para H2. Si los análisis de laboratorio confirmaron que alguno de estos parámetros excede los valores indicados arriba, la cuadrícula se ha agregado a la Zona de Mitigación de Reacciones.

Además de los parámetros indicados arriba, también se consideraron los siguientes factores al determinar el límite de la Zona de Mitigación de Reacciones, aplicando la misma metodología basada en cuadrículas individuales del vertedero descrita arriba:

- Filtraciones de lixiviados;
- Características de los olores;
- Bocas de pozos que experimentan condiciones que cabría esperar que den como resultado una liberación de lixiviados presurizados (ej. presión elevada, temperatura elevada, flujo de líquido por la boca del pozo); y
- Cortes de desechos conforme a los registros de perforación del pozo.

En este documento se presenta al Distrito de Gestión de la Calidad del Aire de la Costa Sur evidencia de respaldo, que incluye documentación sobre qué parámetros se cumplieron o excedieron para cada cuadrícula individual del vertedero, los resultados de las pruebas de campo y de laboratorio (si corresponde), explicación de la determinación, límite de la Zona de Mitigación de Reacciones, mapa de la Zona de Mitigación de Reacciones (si corresponde), mapa del rango de gradiente isotérmico que consiste en mediciones de temperaturas en la boca del pozo, mapa del rango de monóxido de carbono en la boca del pozo, mapa del rango de hidrógeno en la boca del pozo, mapa del rango de la relación CH_4:CO_2 en la boca del pozo, mapas isopáquicos mensuales del asentamiento del vertedero y mapa isopáquico de 60 días, mapa de cabezales de pozos y de sondas de temperatura mostrando las cuadrículas de las superficies y perfiles de temperatura vertical para las sondas de temperatura.

El **Adjunto A** presenta el Plano titulado “Mapa de la Zona de Mitigación de Reacciones”, que muestra el límite de la Zona de Mitigación de Reacciones según lo establecido en la Condición No. 9(a), que corresponde a los límites de las Celdas 1/2A, 2B/3, 4 y el Módulo 2B/3/4 P2, con una línea negra sólida. El Plano también muestra la Zona de Mitigación de Reacciones determinada por datos de la Condición No. 9(b) con una línea discontinua magenta.

LÍMITE DE LA ZONA DE MITIGACIÓN DE REACCIONES

En base a los parámetros y las consideraciones previas, el límite de la Zona de Mitigación de Reacciones incluye las cuadrículas que corresponden al área abarcada en la determinación del límite de la Zona de Mitigación de Reacciones dirigida por datos del mes anterior, excluyendo las Cuadrículas No. 33, 34, 163 y 170 e incluyendo las Cuadrículas No. 39, 155, 169, 194 y 195.

Movimiento de Gases de la Reacción

En base a la información de Chiquita, la composición de los gases exhibida en los pozos y colectores posicionados dentro de las cuadrículas de la superficie en la parte este de la masa de desechos podría estar influenciada por la presencia de gases de la reacción que se originaban en la parte noroeste del Vertedero. La migración de gases de la reacción hacia el este y sur está ocurriendo a través de colectores horizontales que sirven como vías preferenciales dentro de la matriz de desechos. Los amplios esfuerzos de desagote han demostrado ser exitosos en la reducción de la elevación de los niveles de lixiviados medidos dentro de los desechos enterrados, lo que está facilitando vías más permeables para este movimiento de gases de la reacción hacia el este y hacia el sur.

Evaluación del Asentamiento

En base a la información de Chiquita, los cambios en las elevaciones en la superficie del vertedero que ocurrieron entre el 29 de julio de 2026 y el 30 de septiembre de 2026 en las siguientes cuadrículas seleccionadas estaban asociados a varias circunstancias y no a un asentamiento real, como se describe a continuación:

- Cuadrículas No. 160, 161, 162, 172, 196, 212 y 214 – Atribuido a movimientos de tierra, nivelación y remoción de la cubierta intermedia en preparación para el despliegue de la cubierta de geomembrana de etileno-alcohol vinílico (EVOH), o reparaciones de la cubierta de geomembrana de EVOH, u otra actividad de construcción relacionada.
- Cuadrícula No. 83, 84, 90, 155 y 163 – Atribuido a la nivelación de tuberías de cabezales de LFG o a otras construcciones o mantenimientos del sistema de recolección de LFG.
- Cuadrículas No. 87, 96 y 97 – Atribuido a movimiento de tierra y nivelación, asociado a la construcción de la calle.
- Cuadrículas No. 100, 102, 198, 199, 213, 217 y 218 – Atribuido a movimiento de material de suelo de cobertura diaria en el frente de trabajo para desechos generados internamente o a otras actividades de acopio.

Si bien se reconoce que pudo haber ocurrido algo de asentamiento en estas áreas, se cree que los factores identificados arriba son los principales factores que contribuyeron a los cambios de elevación experimentados durante agosto y septiembre. Por lo tanto, los cambios en las elevaciones de la superficie del vertedero en estas cuadrículas no se consideraron como que cumplieran los criterios de asentamiento del vertedero durante el ejercicio de este mes.

Parámetros en Cuadrículas Contiguas

- La Cuadrícula No. 33 está posicionada al norte de la Cuadrícula No. 34, al oeste de la Cuadrícula No. 37, al noroeste de la Cuadrícula No. 38 y al sudeste de la Cuadrícula No. 82. Las cinco cuadrículas fueron incluidas en el límite de la Zona de Mitigación de Reacciones del mes pasado. Durante septiembre, los datos de monitoreo demostraron que solo dos parámetros cumplían con los criterios, uno de los cuales fue concentraciones de metano de menos del 30 por ciento junto con la relación de CH4:CO2 menor que 1.0 en el colector horizontal H-1956B. La Cuadrícula No. 33 también contiene TP-37, que exhibió una temperatura mayor a 170 grados Fahrenheit por más de tres semanas. Por lo tanto, la Cuadrícula No. 33 se está excluyendo del límite de la Zona de Mitigación de Reacciones para este mes.
- La Cuadrícula No. 34 está posicionada al sur de la Cuadrícula No. 33, al sudoeste de la Cuadrícula No. 37 y al oeste de la Cuadrícula No. 38. Las cuatro cuadrículas fueron incluidas en el límite de la Zona de Mitigación de Reacciones del mes pasado. Durante septiembre, los datos de monitoreo demostraron que solo dos parámetros cumplían con los criterios, uno de los cuales fue concentraciones de metano de menos del 30 por ciento junto con la relación de CH4:CO2 menor que 1.0 en el pozo CV-24163. La Cuadrícula No. 34 también contiene TP-38, que exhibió una temperatura mayor a 170 grados Fahrenheit por más de tres semanas. Por lo tanto, la Cuadrícula No. 34 se está excluyendo del límite de la Zona de Mitigación de Reacciones para este mes.
- La Cuadrícula No. 39 está posicionada al sur de la Cuadrícula No. 38 y al sudeste de la Cuadrícula No. 34 y las Cuadrículas No. 38 y 34 fueron incluidas en el límite de la Zona de Mitigación de Reacciones del mes pasado. La cuadrícula contiene dos pozos (CV-24212 y CV-2689) que exhibieron concentraciones de metano de menos del 30 por ciento junto con relaciones de CH4:CO2 menores a 1.0. El pozo CV-2689 también exhibió concentraciones de H2 mayores al 2 por ciento por volumen. Por lo tanto, la Cuadrícula No. 39 se está

incluyendo en el límite de la Zona de Mitigación de Reacciones para este mes como cuadrícula de superficie continua.

- La Cuadrícula No. 155 está posicionada al sur de las Cuadrículas No. 149, 154 y 159 y al norte de la Cuadrícula No. 160 y todas ellas fueron incluidas en el límite de la Zona de Mitigación de Reacciones del mes pasado. La cuadrícula contiene tres pozos (CV-24093, CV-24159 y CV-2545) que exhibieron concentraciones de metano de menos del 30 por ciento junto con relaciones de CH4:CO2 menores a 1.0. Por lo tanto, la Cuadrícula No. 155 se está incluyendo en el límite de la Zona de Mitigación de Reacciones para este mes como cuadrícula de superficie continua.
- La Cuadrícula No. 163 está posicionada al este de la Cuadrícula No. 164, al sur de la Cuadrícula No. 165 y al sudoeste de la Cuadrícula No. 160. Las cuatro cuadrículas fueron incluidas en el límite de la Zona de Mitigación de Reacciones del mes pasado. Durante septiembre, los datos de monitoreo demostraron que solo dos parámetros cumplían con los criterios, uno de los cuales fue concentraciones de metano de menos del 30 por ciento junto con la relación de CH4:CO2 menor que 1.0 en el pozo CV-24173. La Cuadrícula No. 163 también contiene TP-24, que exhibió una temperatura mayor a 170 grados Fahrenheit por más de tres semanas. Por lo tanto, la Cuadrícula No. 163 se está excluyendo del límite de la Zona de Mitigación de Reacciones para este mes.
- La Cuadrícula No. 169 está rodeada por las Cuadrículas No. 168, 170, 174 y 203, todas ellas incluidas en el límite de la Zona de Mitigación de Reacciones del mes pasado. La cuadrícula contiene dos pozos (CV-2341 y CV-24050) que exhibieron concentraciones de metano de menos del 30 por ciento junto con relaciones de CH4:CO2 menores a 1.0. El pozo CV-2341 también exhibió concentraciones de H2 mayores al 2 por ciento por volumen y concentraciones de CO iguales a 1,500 ppmv. Por lo tanto, la Cuadrícula No. 169 se está incluyendo en el límite de la Zona de Mitigación de Reacciones para este mes como cuadrícula contigua.
- La Cuadrícula No. 170 está rodeada por las Cuadrículas No. 166 a 169 y 171 a 174. De estas nueve cuadrículas, todas, excepto la Cuadrícula No. 169, estaban incluidas en el límite de la Zona de Mitigación de Reacciones del mes pasado. Durante septiembre, los datos de monitoreo demostraron que solo dos parámetros cumplían con los criterios, uno de los cuales fue concentraciones de metano de menos del 30 por ciento junto con la relación de CH4:CO2 menor que 1.0 en el pozo CV-2302. La Cuadrícula No. 170 también contiene TP-09, que exhibió una temperatura mayor a 170 grados Fahrenheit por más de tres semanas. Por lo tanto, la Cuadrícula No. 170 se está excluyendo del límite de la Zona de Mitigación de Reacciones para este mes porque solo había dos parámetros presentes.

Parámetros en Cuadrículas No Contiguas

No se incluyeron ni excluyeron cuadrículas de superficies no contiguas en comparación con el límite del mes anterior.

CONCLUSIÓN

Como se presenta en el Plano incluido como **Adjunto A** y por los motivos descritos arriba, la extensión de la Zona de Mitigación de Reacciones determinada por datos (línea discontinua magenta) incluye las Celdas 1/2A, 2B/3, 4 y el Módulo 2B/3/4 P2 como lo decreta la SOFA (línea sólida negra) y las Cuadrículas No. 37, 38, 39, 41, 53, 76, 77, 79, 81, 82, 145 a 149 y 155.

Las mediciones de temperaturas máximas registradas en las 40 sondas de monitoreo de temperatura de los desechos in-situ durante el mes se presentan en el **Adjunto B** en formato gráfico. Las temperaturas de los cabezales de pozos de LFG registradas en los pozos de extracción en toda la huella del Vertedero se reflejan en el

mapa de rangos de gradientes isotérmicos presentado en el **Adjunto C**. Las relaciones de $CH_4:CO_2$ medidas en los cabezales de pozos de LFG en la vecindad del límite de la Zona de Mitigación de Reacciones dirigida por datos se exhiben en el mapa de rangos presentado como **Adjunto D**. Las concentraciones de H_2 medidas en los cabezales de pozos de LFG en la vecindad del límite de la Zona de Mitigación de Reacciones dirigida por datos se exhiben en el mapa de rangos presentado como **Adjunto E**. Las concentraciones de CO medidas en los cabezales de pozos de LFG en la vecindad del límite de la Zona de Mitigación de Reacciones dirigida por datos se exhiben en el mapa de rangos presentado como **Adjunto F**. Los valores isopáquicos del asentamiento de la superficie del vertedero medidos mensualmente y cada 60 días cerca del límite de la Zona de Mitigación de Reacciones dirigida por datos se exhiben en el mapa de rangos presentado como **Adjunto G**.

Por favor, comuníquese con cualquiera de los firmantes si tiene preguntas o si necesita más información.

Atentamente,

Robert E. Dick, PE, BCEE
Vicepresidente Sénior
SCS Engineers

Patrick S. Sullivan, BCES, CCP
Vicepresidente Sénior
SCS Engineers

RED/PSS

cc: Nathaniel Dickel, SCAQMD
Christina Ojeda, SCAQMD

Adjuntos:

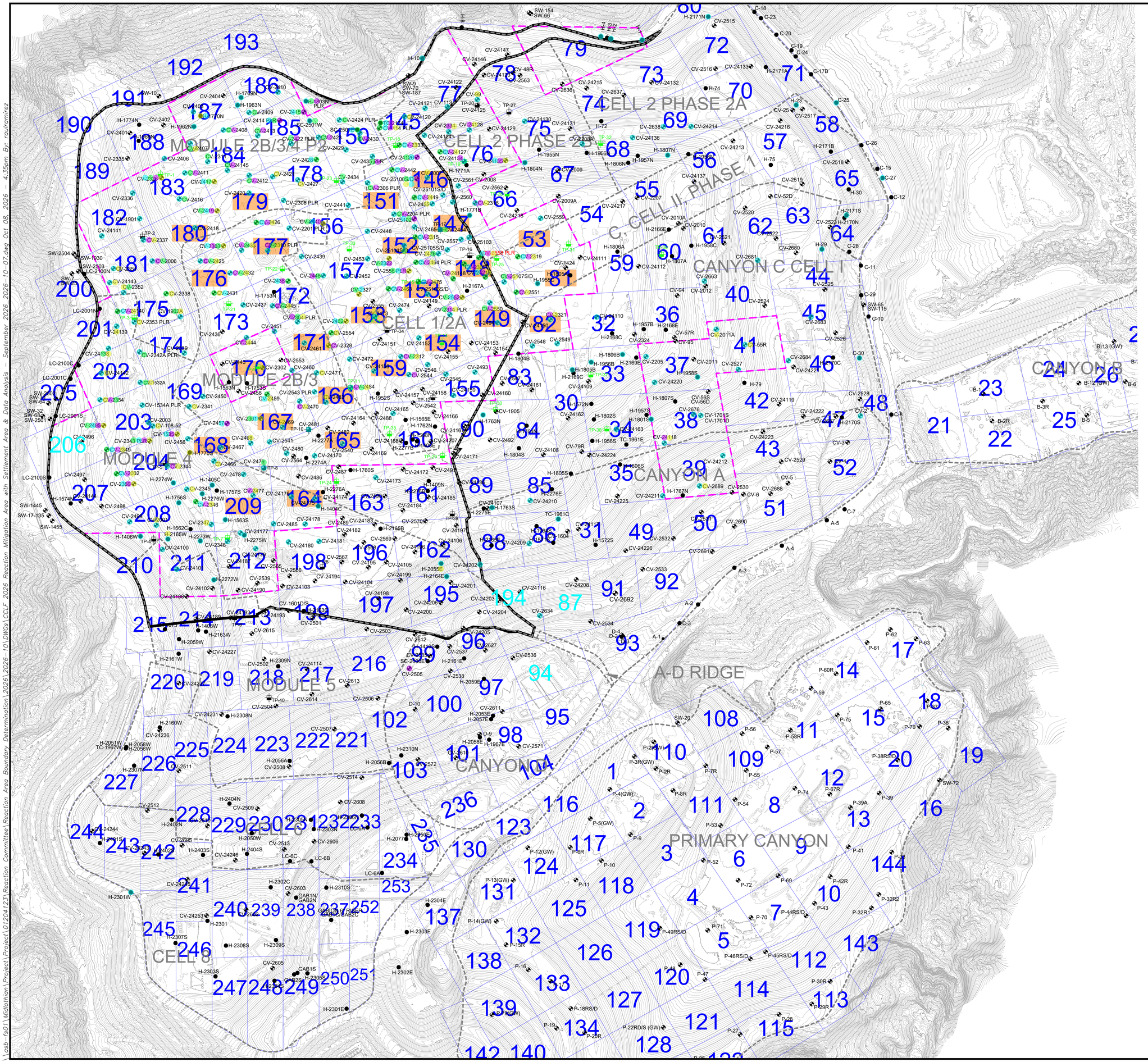
Adjunto A – Mapa de la Zona de Mitigación de Reacciones
Adjunto B – Datos de las Sondas de Monitoreo de Temperatura de los Desechos In-Situ
Adjunto C – Mapa de Distribución de Gradientes Isotérmicos
Adjunto D – Mapa de la Distribución de la Relación entre Metano y Dióxido de Carbono en la Boca del Pozo
Adjunto E – Mapa de Distribución de Hidrógeno en la Boca del Pozo
Adjunto F – Mapa de Distribución de Monóxido de Carbono en la Boca del Pozo
Adjunto G – Mapas Isopáquicos de Distribución de los Asentamientos

A

Attachment

Reaction Mitigation Area Map

Reaction Mitigation Area Boundary Determination
Chiquita Canyon Landfill
10/09/2026



GENERAL DRAWING NOTES:

1. EXISTING GCCS AS-BUILT DATED SEPTEMBER 30, 2026.
2. EXISTING TOPOGRAPHIC SURVEY INFORMATION SHOWN WAS PROVIDED BY PROPELLER AERIAL PHOTOGRAPHY DATED SEPTEMBER 30, 2026.
3. APPROXIMATED REACTION MITIGATION AREA BOUNDARY ADJUSTMENTS DATED OCTOBER 10, 2026, BASED ON SEPTEMBER 2026 DATA.
4. NORTH ARROW SHOWN HERE IS REFERENCE TO THE CALIFORNIA STATE PLANE ZONE V COORDINATE SYSTEM, NAD 83.
5. THE LOCATION OF ANY EXISTING PIPING, VALVES, TIE-IN LOCATIONS AND OTHER FEATURES ARE APPROXIMATE AND SHOULD BE USED FOR INFORMATION PURPOSES ONLY. ACTUAL FIELD CONDITIONS MAY VARY AND ARE SUBJECT TO CHANGE BASED ON TOPOGRAPHIC FEATURES AND SITE-SPECIFIC FACTORS.

NO.	REVISION	DATE

SHEET TITLE: REACTION MITIGATION AREA - SEPTEMBER 2026

PROJECT TITLE: CHIQUITA CANYON LANDFILL CASTAIC, CALIFORNIA

CLIENT: CHIQUITA CANYON LANDFILL CASTAIC, CALIFORNIA

SCS ENGINEERS
ENVIRONMENTAL CONSULTANTS
3900 KILROY AIRPORT WAY, SUITE 100
LONG BEACH, CA 90806
PH: (562) 426-9544

PROJ. NO.	01204123.45
DSN. BY:	-
DWN. BY:	RR
CHK. BY:	-
APP. BY:	-

ACAD: R17_CCADASBUILT-MASTER5

DATE: 10/09/2026

SCALE: AS SHOWN

1 of 1

\\asb-fs01\Midlothian\Project\01204123\Reaction Committee\Reaction Area Boundary Determination\2026\2026-10\DWGs\CCLF 2026 Reaction Mitigation Area with Settlement Area & Data Analysis - September 2026_2026-10-07.dwg Oct 08, 2026 - 4:35pm By: raulramirez

B

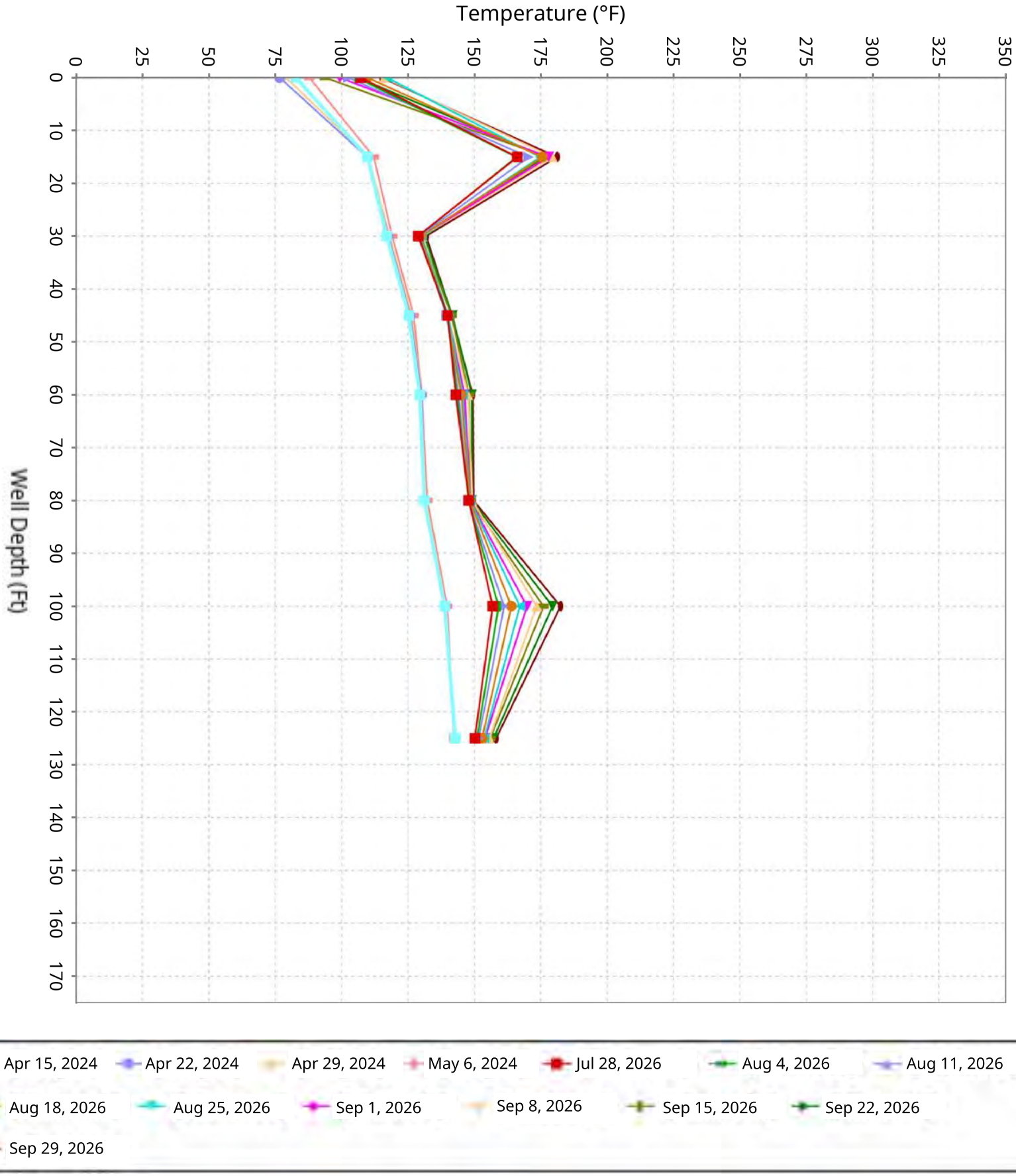
Attachment

In-Situ Waste Temperature Monitoring Probe Data

Reaction Mitigation Area Boundary Determination
Chiquita Canyon Landfill
10/09/2026

Vertical Temperature Profiles from Temperature Probes at Chiquita Landfill for TP-1

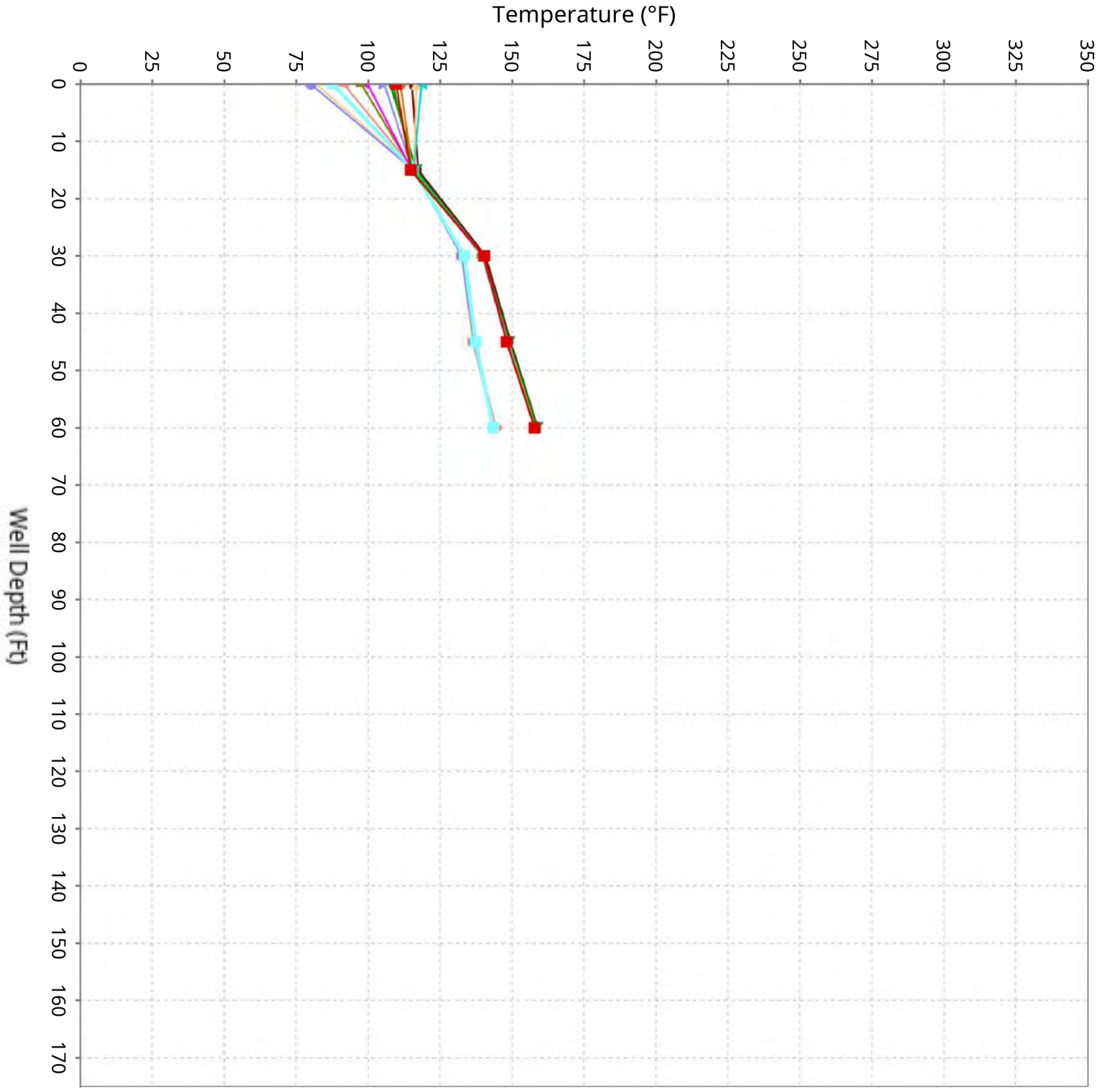
Maximum weekly data for initial 4-weeks of operation compared to the latest 10-weeks



SCS ENGINEERS

Vertical Temperature Profiles from Temperature Probes at Chiquita Landfill for TP-2

Maximum weekly data for initial 4-weeks of operation compared to the latest 10-weeks

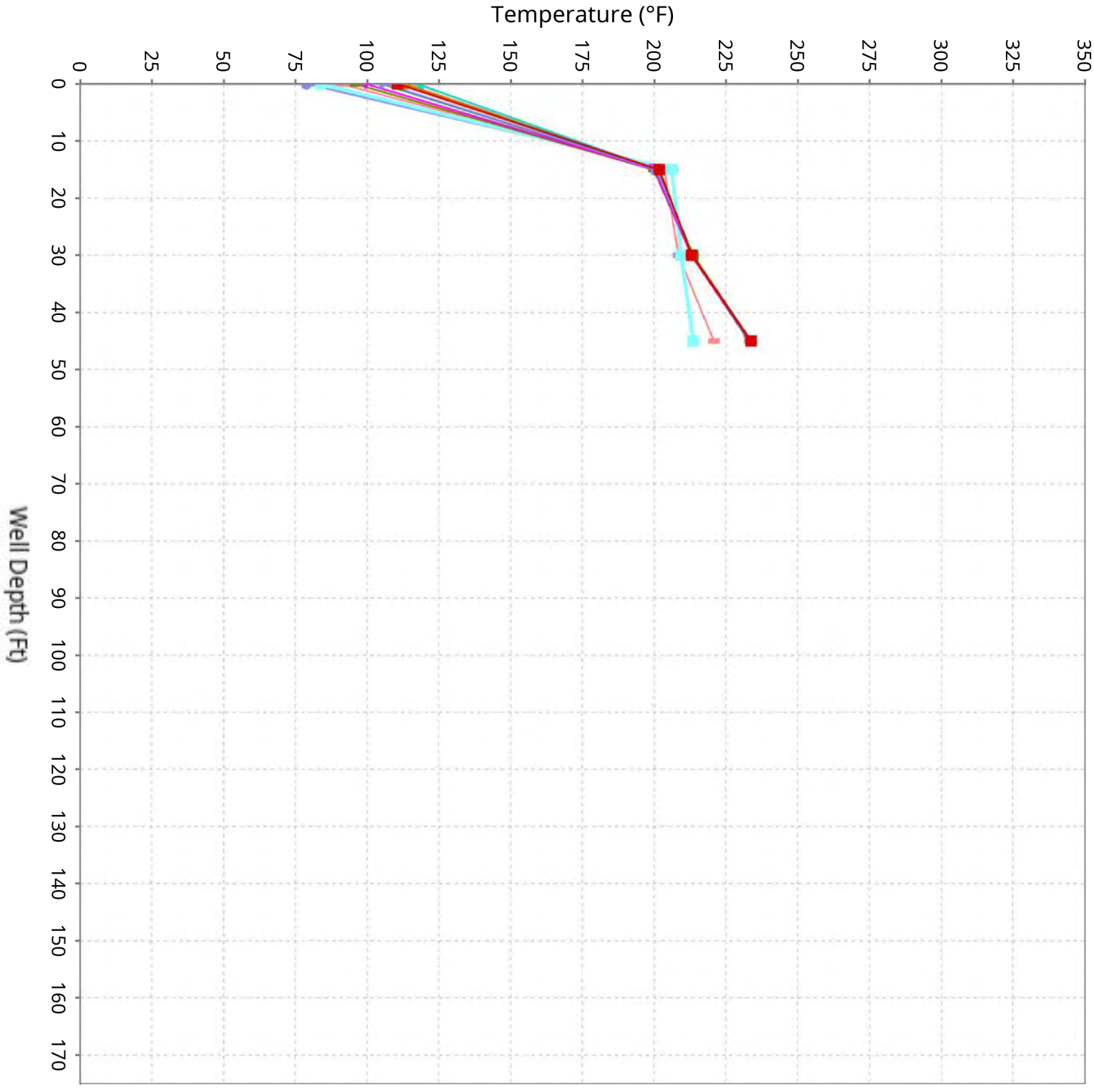


Apr 15, 2024 Apr 22, 2024 Apr 29, 2024 May 6, 2024 Jul 28, 2026 Aug 4, 2026 Aug 11, 2026
Aug 18, 2026 Aug 25, 2026 Sep 1, 2026 Sep 8, 2026 Sep 15, 2026 Sep 22, 2026
Sep 29, 2026

SCS ENGINEERS

Vertical Temperature Profiles from Temperature Probes at Chiquita Landfill for TP-3

Maximum weekly data for initial 4-weeks of operation compared to the latest 10-weeks



Apr 15, 2024 Apr 22, 2024 Apr 29, 2024 May 6, 2024 Jul 28, 2026 Aug 4, 2026 Aug 11, 2026
Aug 18, 2026 Aug 25, 2026 Sep 1, 2026 Sep 8, 2026 Sep 15, 2026 Sep 22, 2026
Sep 29, 2026

SCS ENGINEERS

Vertical Temperature Profiles from Temperature Probes at Chiquita Landfill for TP-4

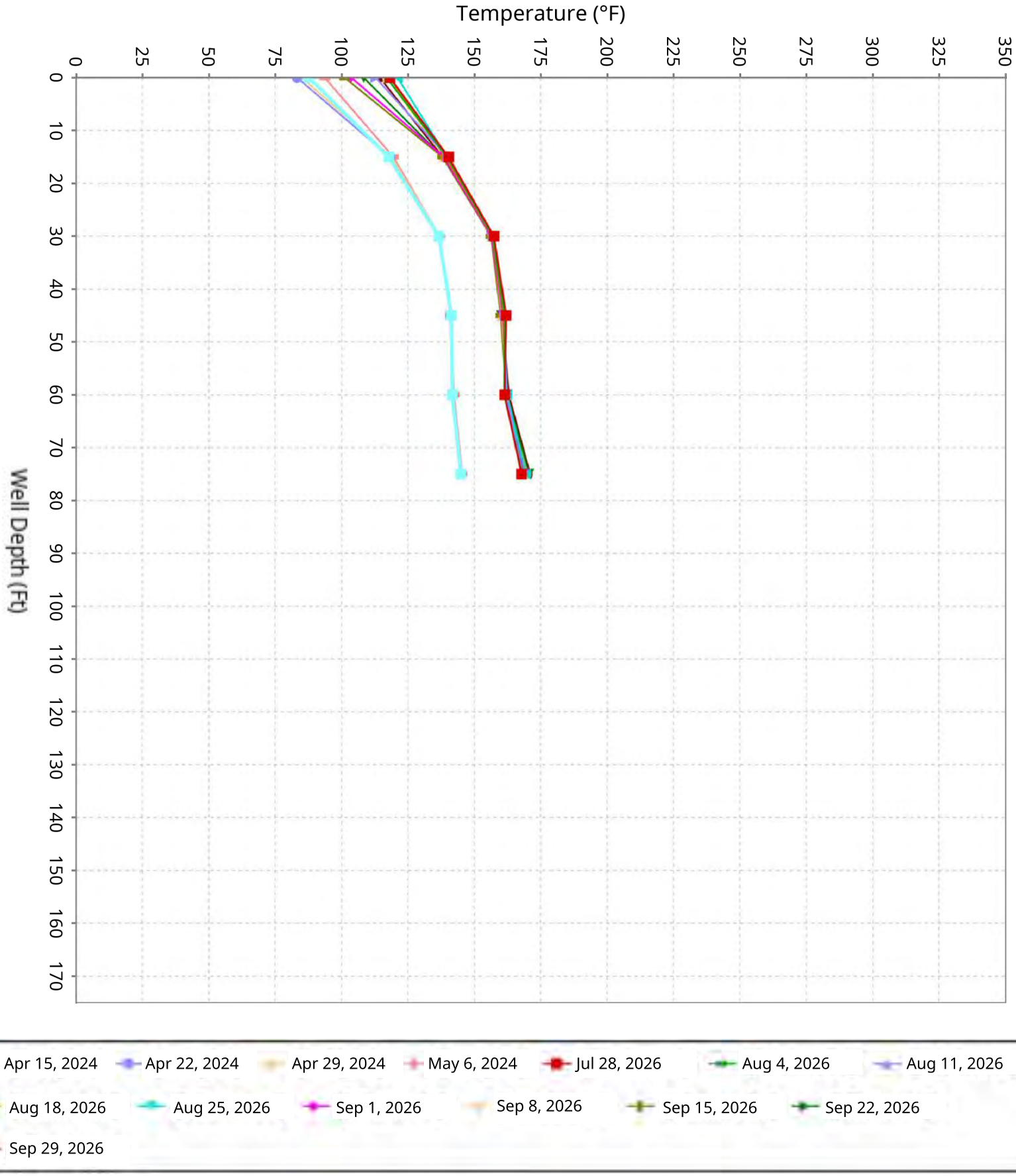
Maximum weekly data for initial 4-weeks of operation compared to the latest 10-weeks



SCS ENGINEERS

Vertical Temperature Profiles from Temperature Probes at Chiquita Landfill for TP-5

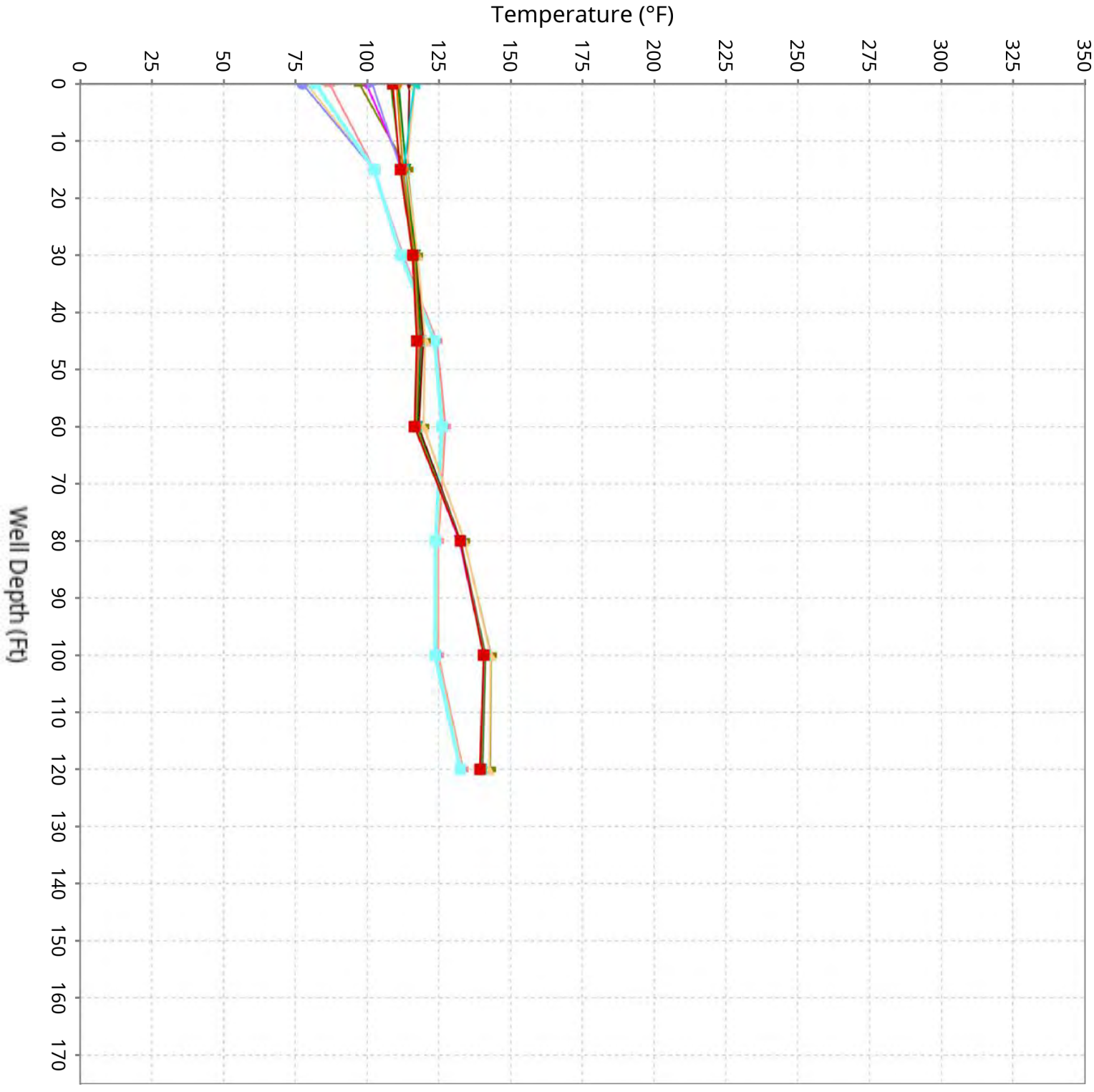
Maximum weekly data for initial 4-weeks of operation compared to the latest 10-weeks



SCS ENGINEERS

Vertical Temperature Profiles from Temperature Probes at Chiquita Landfill for TP-6

Maximum weekly data for initial 4-weeks of operation compared to the latest 10-weeks

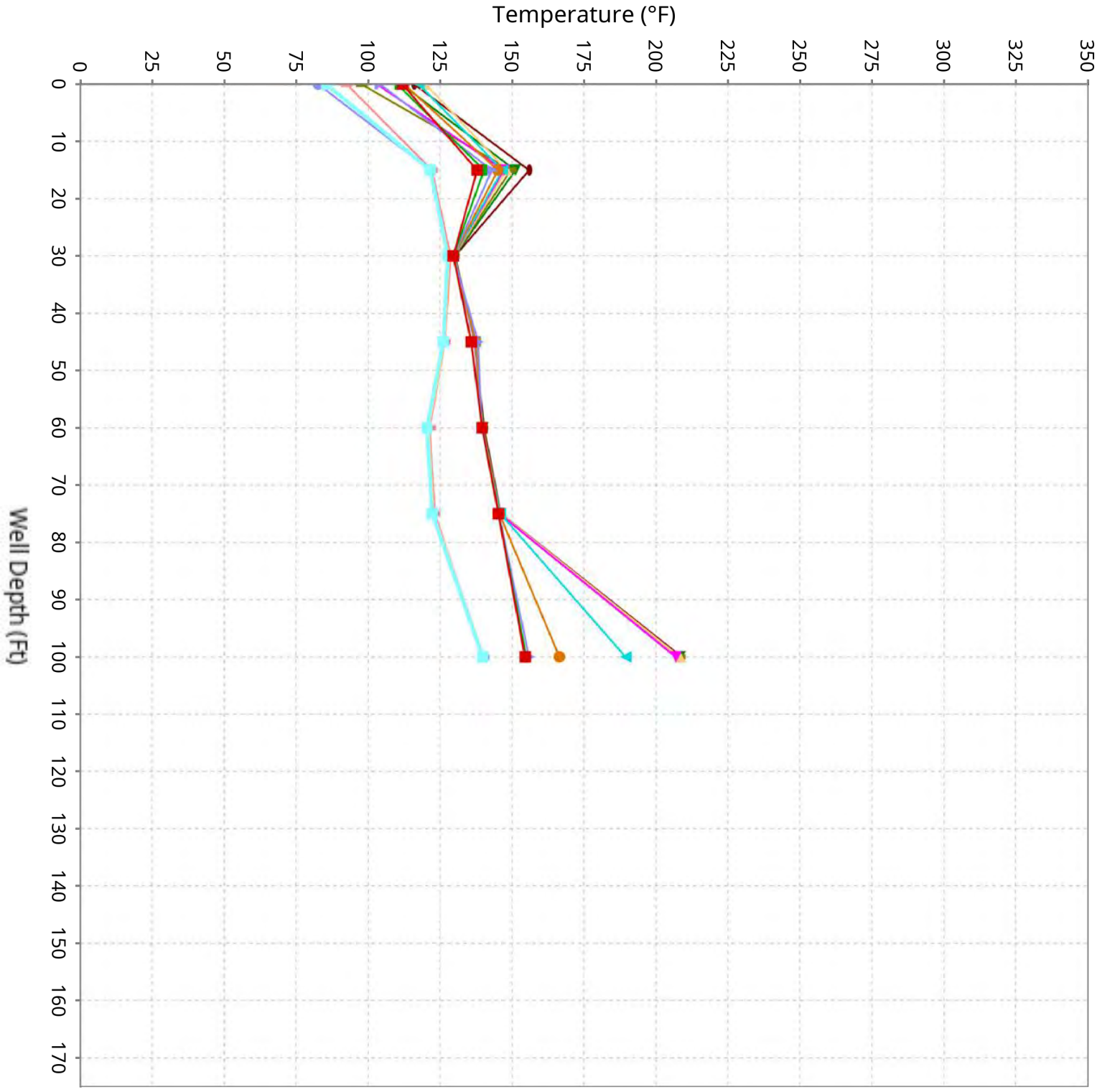


Apr 15, 2024
Apr 22, 2024
Apr 29, 2024
May 6, 2024
Jul 28, 2026
Aug 4, 2026
Aug 11, 2026
Aug 18, 2026
Aug 25, 2026
Sep 1, 2026
Sep 8, 2026
Sep 15, 2026
Sep 22, 2026
Sep 29, 2026

SCS ENGINEERS

Vertical Temperature Profiles from Temperature Probes at Chiquita Landfill for TP-7

Maximum weekly data for initial 4-weeks of operation compared to the latest 10-weeks

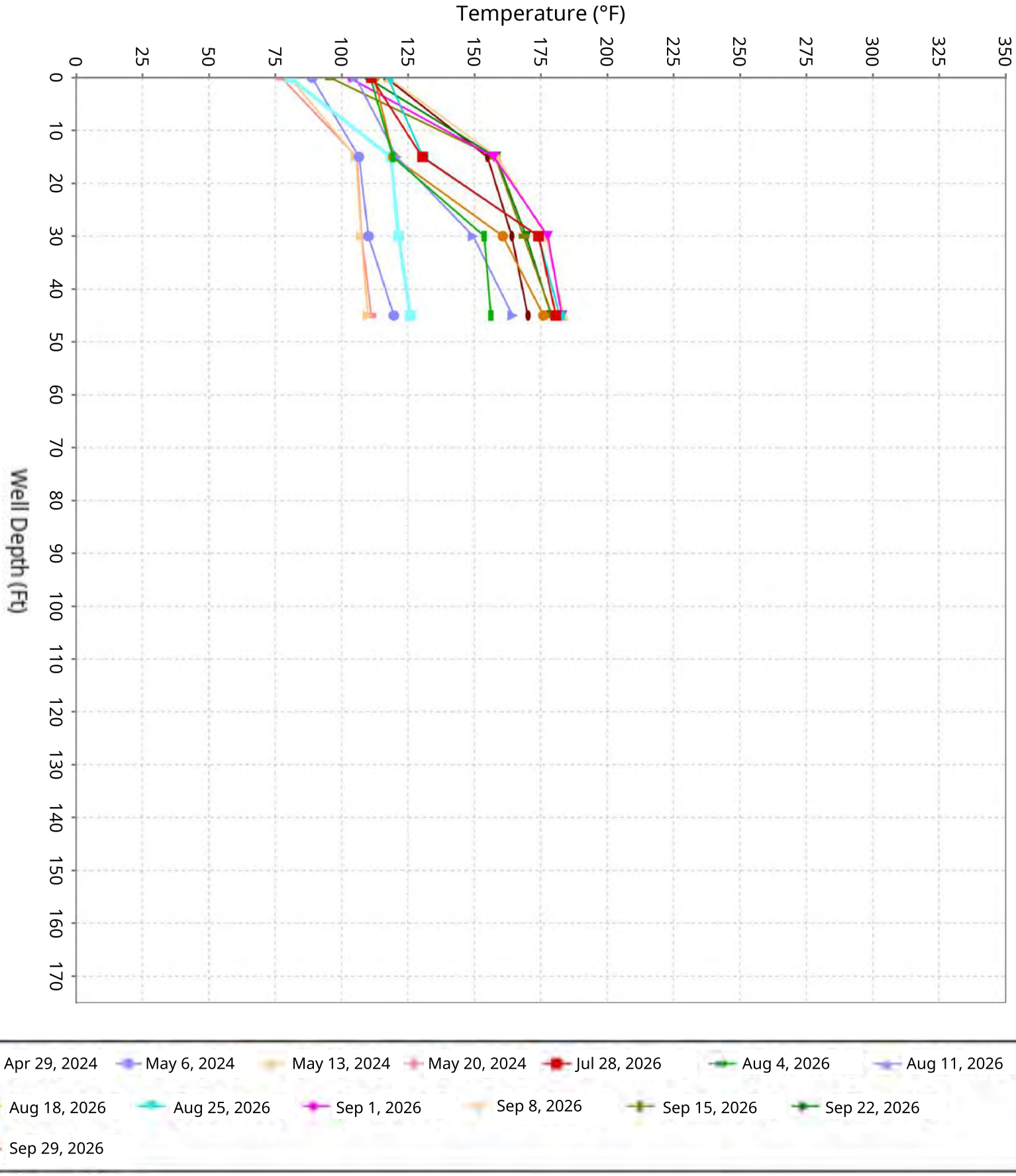


Apr 15, 2024 Apr 22, 2024 Apr 29, 2024 May 6, 2024 Jul 28, 2026 Aug 4, 2026 Aug 11, 2026
Aug 18, 2026 Aug 25, 2026 Sep 1, 2026 Sep 8, 2026 Sep 15, 2026 Sep 22, 2026
Sep 29, 2026

SCS ENGINEERS

Vertical Temperature Profiles from Temperature Probes at Chiquita Landfill for TP-8

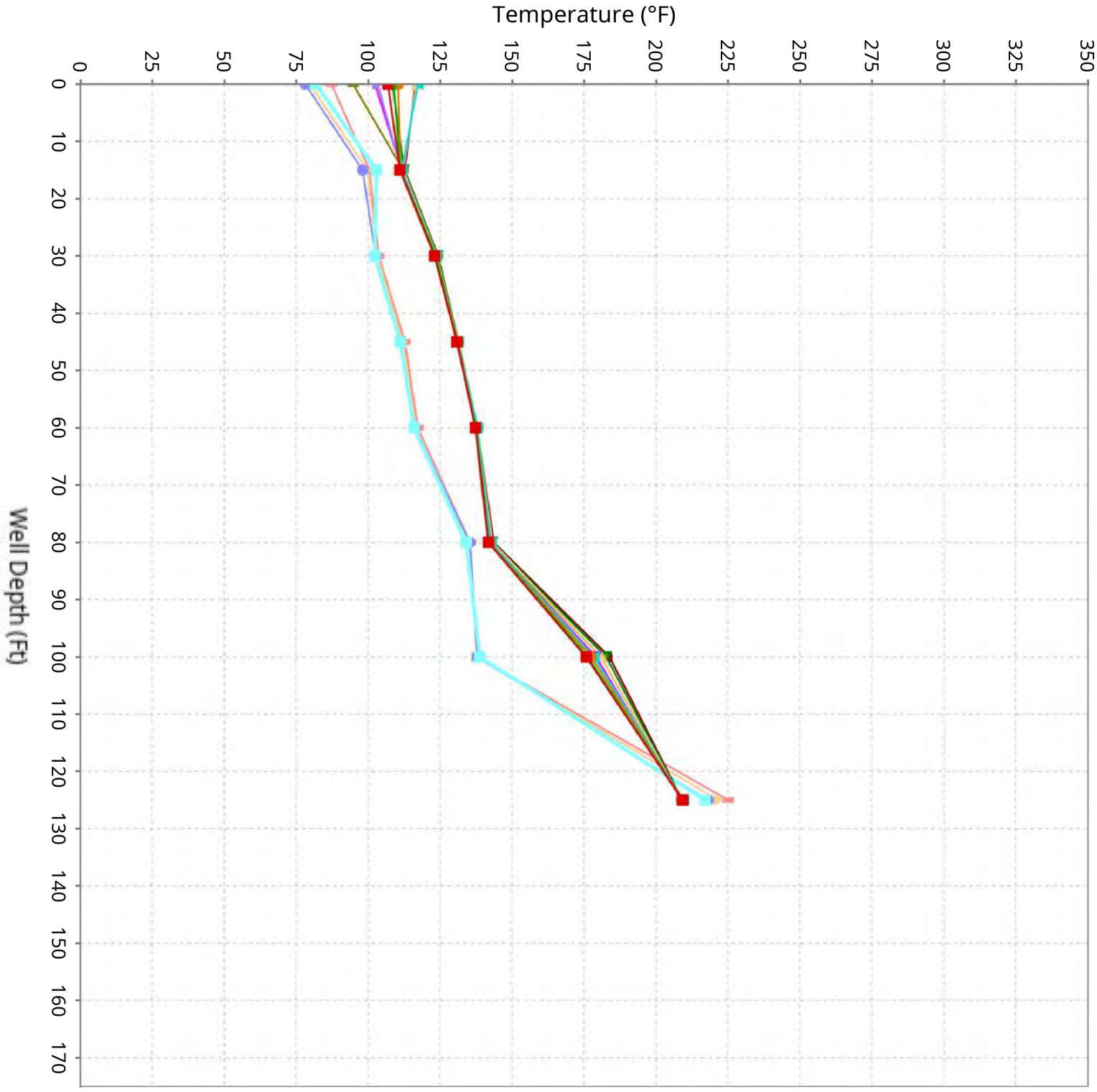
Maximum weekly data for initial 4-weeks of operation compared to the latest 10-weeks



SCS ENGINEERS

Vertical Temperature Profiles from Temperature Probes at Chiquita Landfill for TP-9

Maximum weekly data for initial 4-weeks of operation compared to the latest 10-weeks

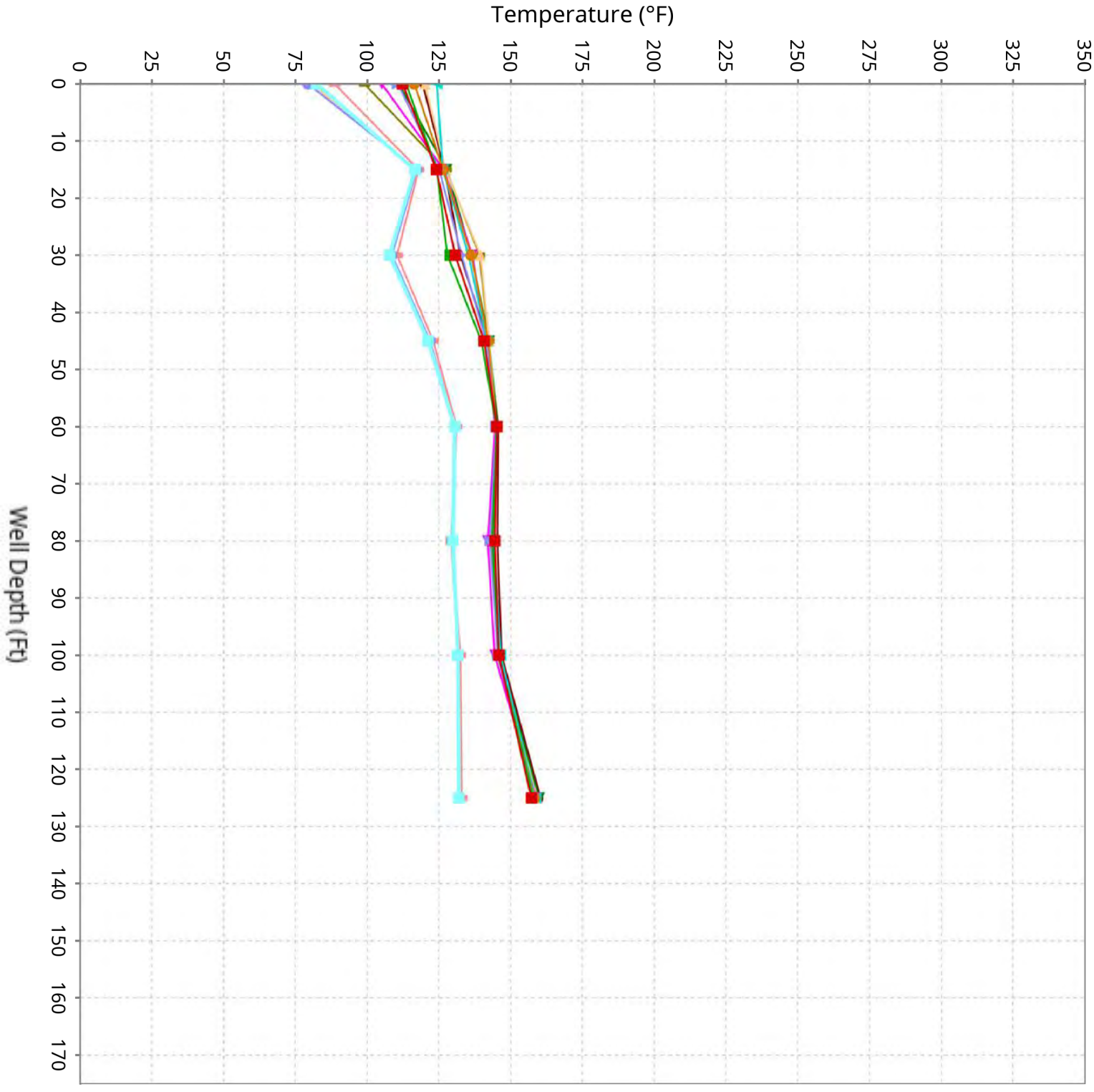


Apr 15, 2024 Apr 22, 2024 Apr 29, 2024 May 6, 2024 Jul 28, 2026 Aug 4, 2026 Aug 11, 2026
Aug 18, 2026 Aug 25, 2026 Sep 1, 2026 Sep 8, 2026 Sep 15, 2026 Sep 22, 2026
Sep 29, 2026

SCS ENGINEERS

Vertical Temperature Profiles from Temperature Probes at Chiquita Landfill for TP-10

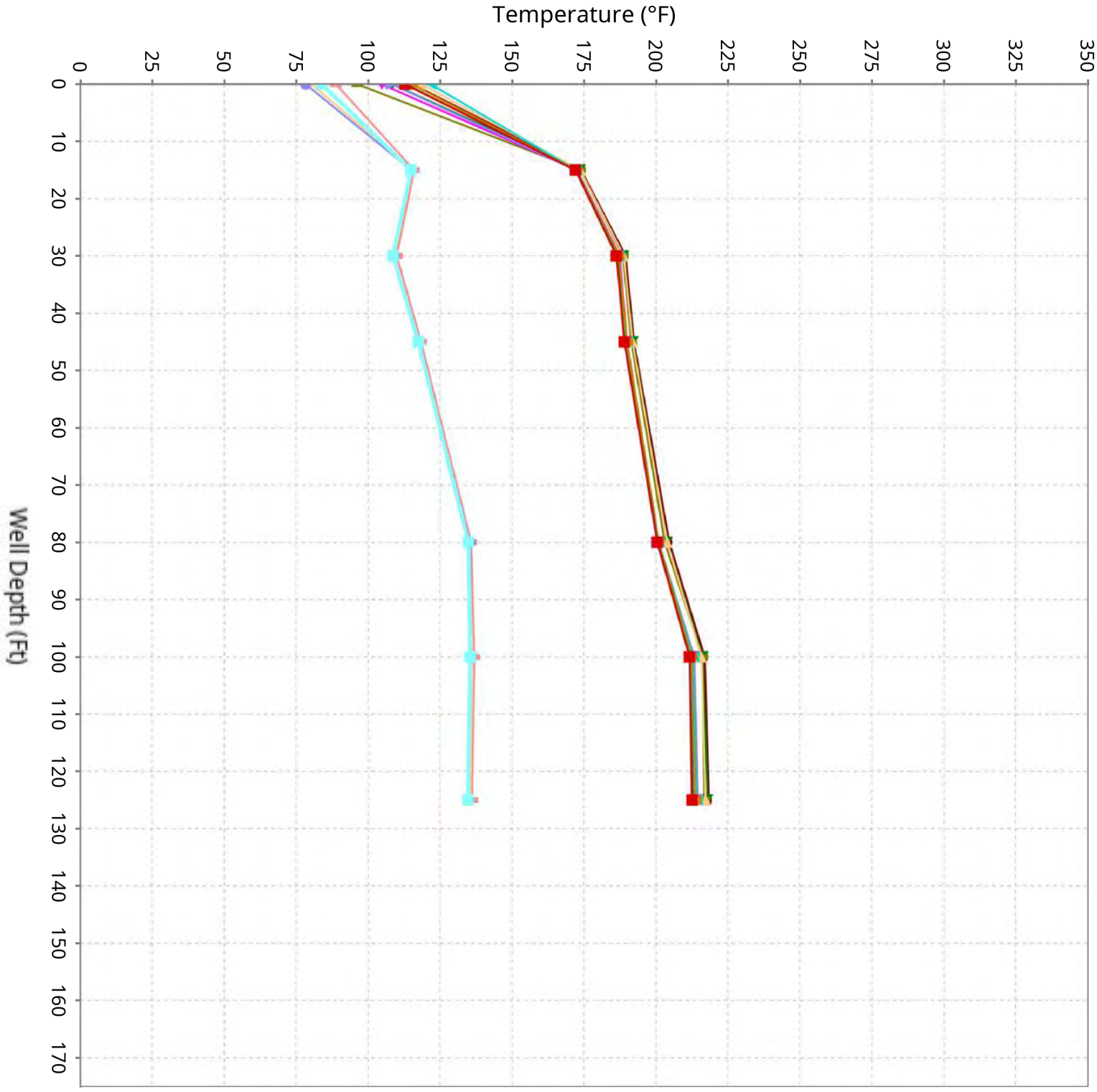
Maximum weekly data for initial 4-weeks of operation compared to the latest 10-weeks



SCS ENGINEERS

Vertical Temperature Profiles from Temperature Probes at Chiquita Landfill for TP-11

Maximum weekly data for initial 4-weeks of operation compared to the latest 10-weeks

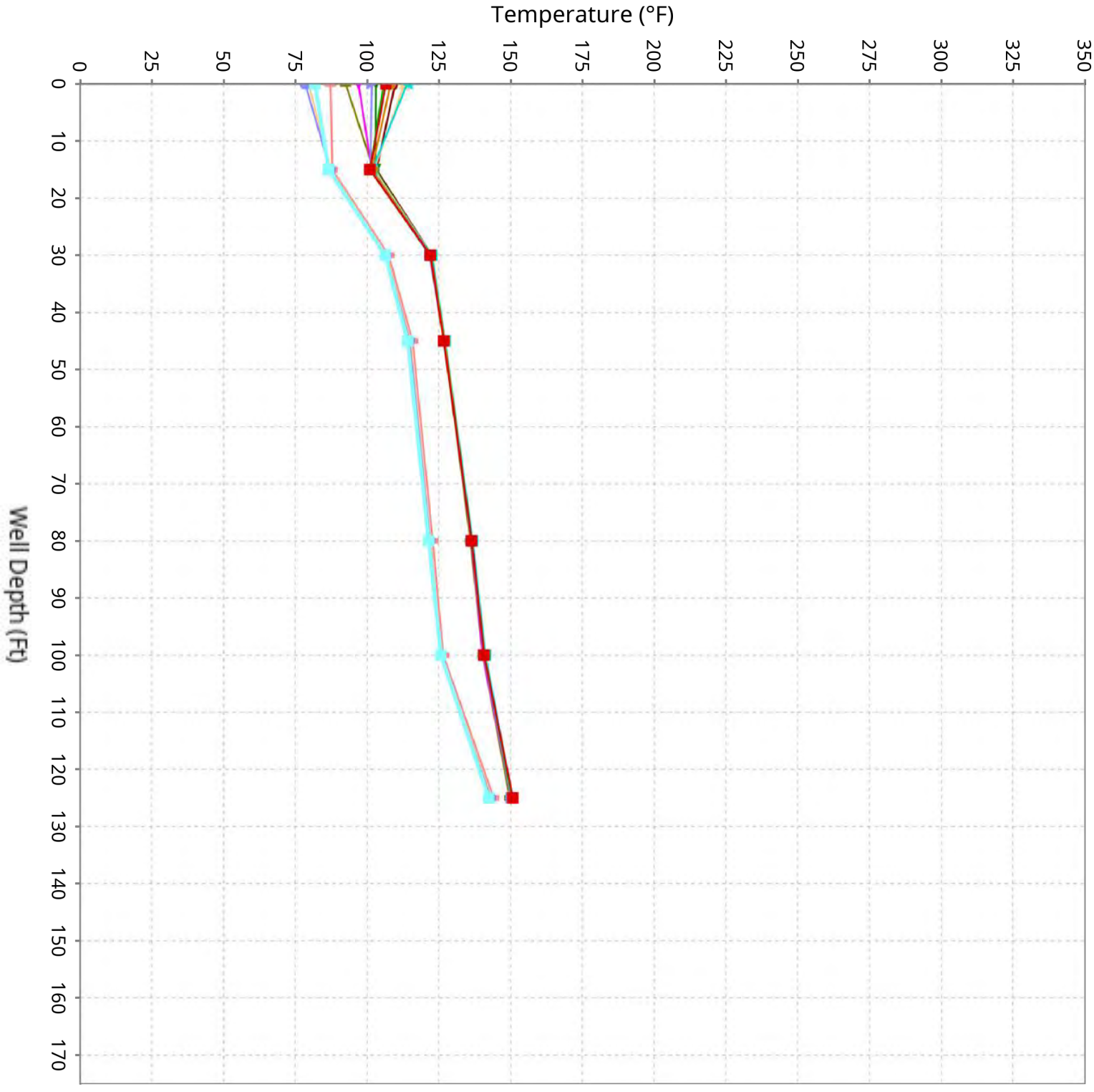


Apr 15, 2024 Apr 22, 2024 Apr 29, 2024 May 6, 2024 Jul 28, 2026 Aug 4, 2026 Aug 11, 2026
Aug 18, 2026 Aug 25, 2026 Sep 1, 2026 Sep 8, 2026 Sep 15, 2026 Sep 22, 2026
Sep 29, 2026

SCS ENGINEERS

Vertical Temperature Profiles from Temperature Probes at Chiquita Landfill for TP-12

Maximum weekly data for initial 4-weeks of operation compared to the latest 10-weeks

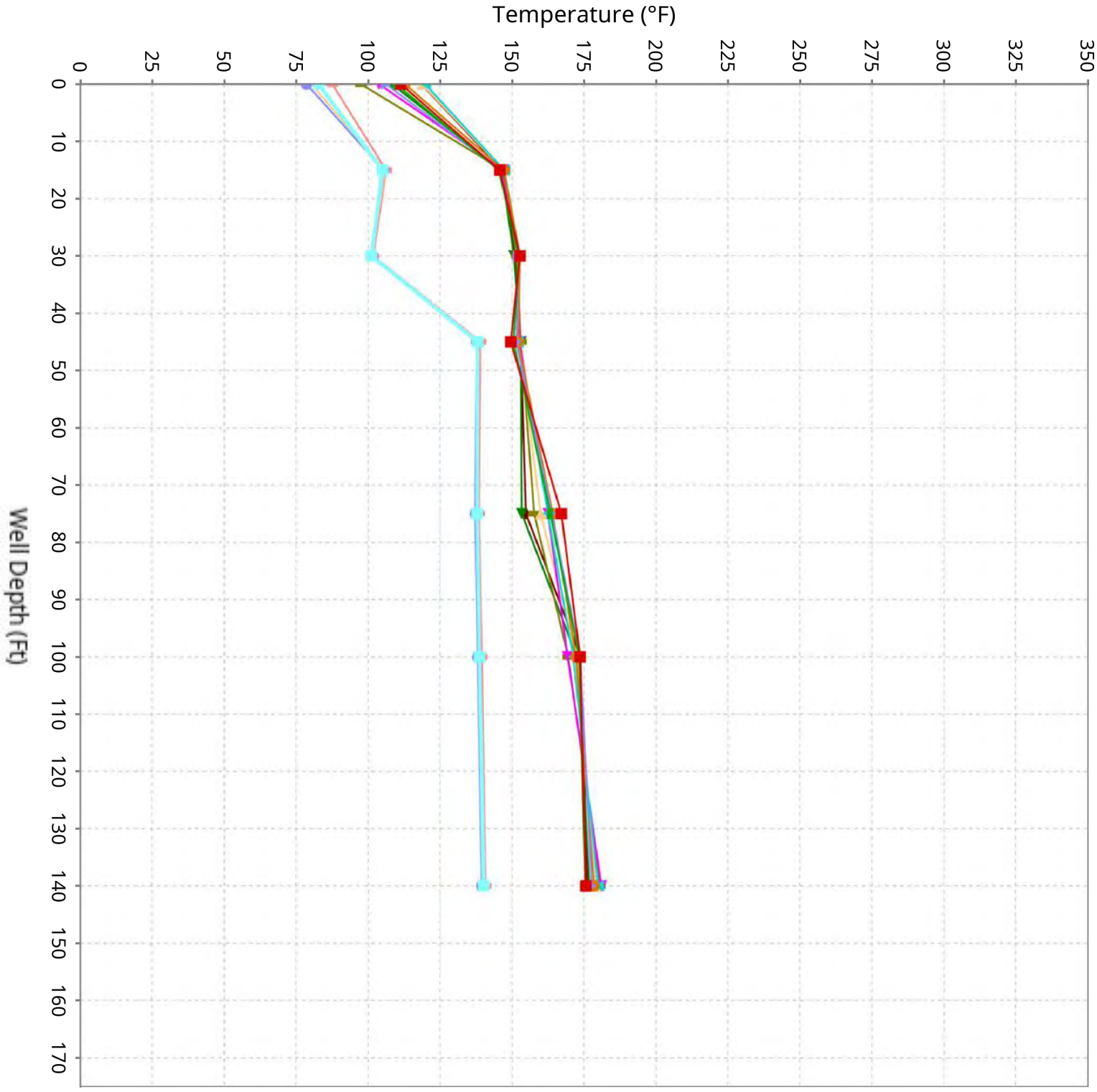


Apr 15, 2024 Apr 22, 2024 Apr 29, 2024 May 6, 2024 Jul 28, 2026 Aug 4, 2026 Aug 11, 2026
Aug 18, 2026 Aug 25, 2026 Sep 1, 2026 Sep 8, 2026 Sep 15, 2026 Sep 22, 2026
Sep 29, 2026

SCS ENGINEERS

Vertical Temperature Profiles from Temperature Probes at Chiquita Landfill for TP-13

Maximum weekly data for initial 4-weeks of operation compared to the latest 10-weeks

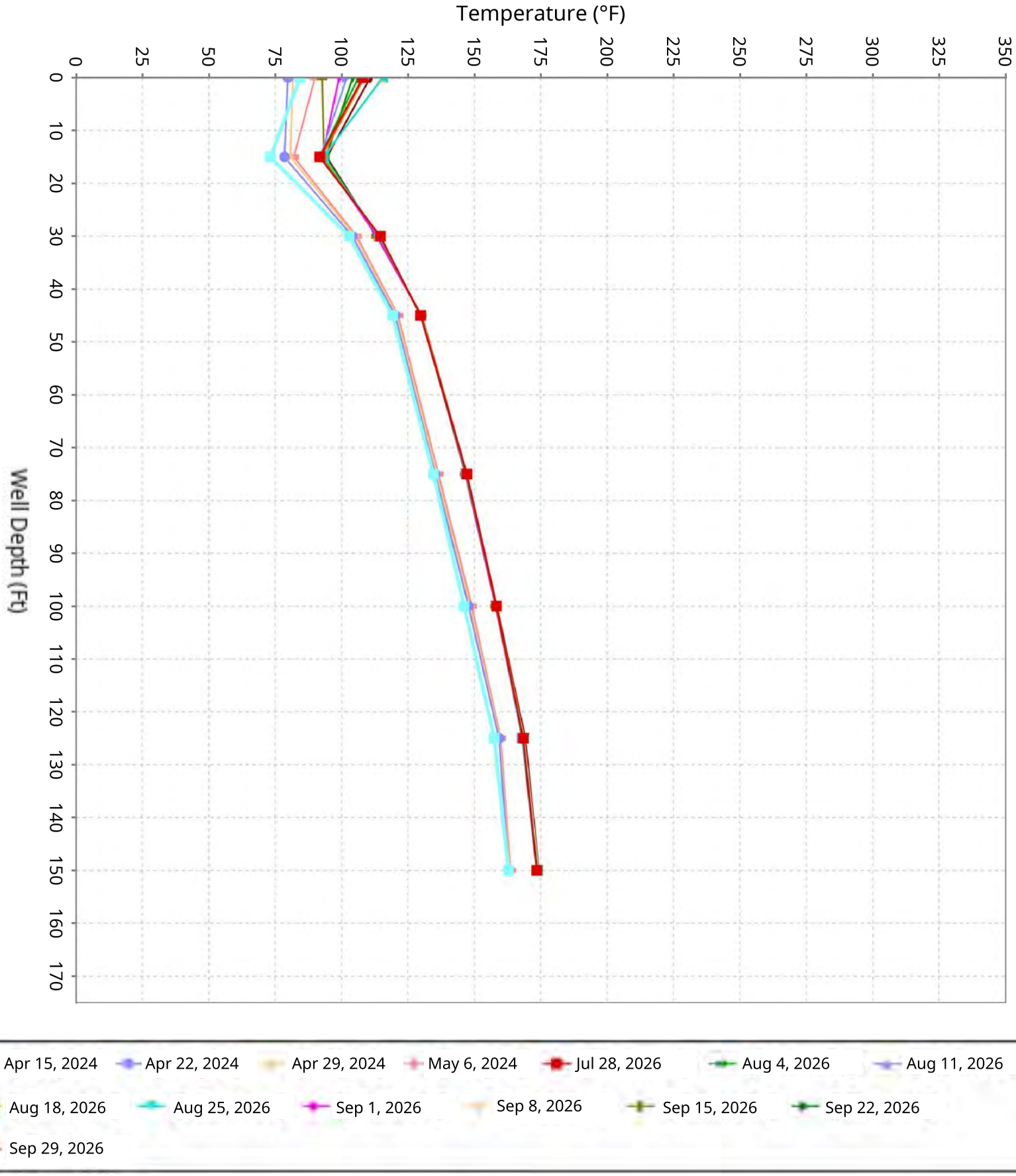


Apr 15, 2024 Apr 22, 2024 Apr 29, 2024 May 6, 2024 Jul 28, 2026 Aug 4, 2026 Aug 11, 2026
Aug 18, 2026 Aug 25, 2026 Sep 1, 2026 Sep 8, 2026 Sep 15, 2026 Sep 22, 2026
Sep 29, 2026

SCS ENGINEERS

Vertical Temperature Profiles from Temperature Probes at Chiquita Landfill for TP-14

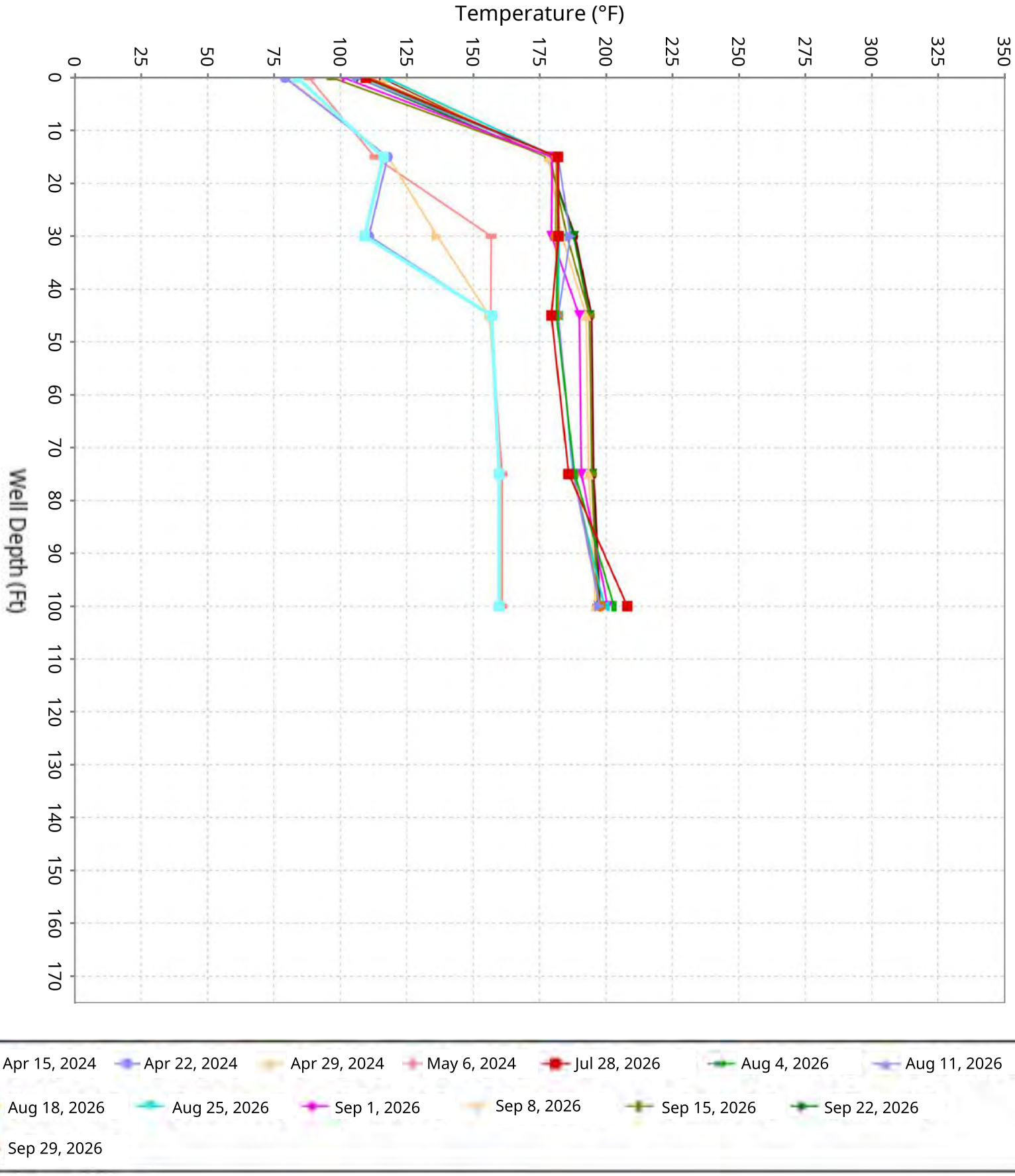
Maximum weekly data for initial 4-weeks of operation compared to the latest 10-weeks



SCS ENGINEERS

Vertical Temperature Profiles from Temperature Probes at Chiquita Landfill for TP-15

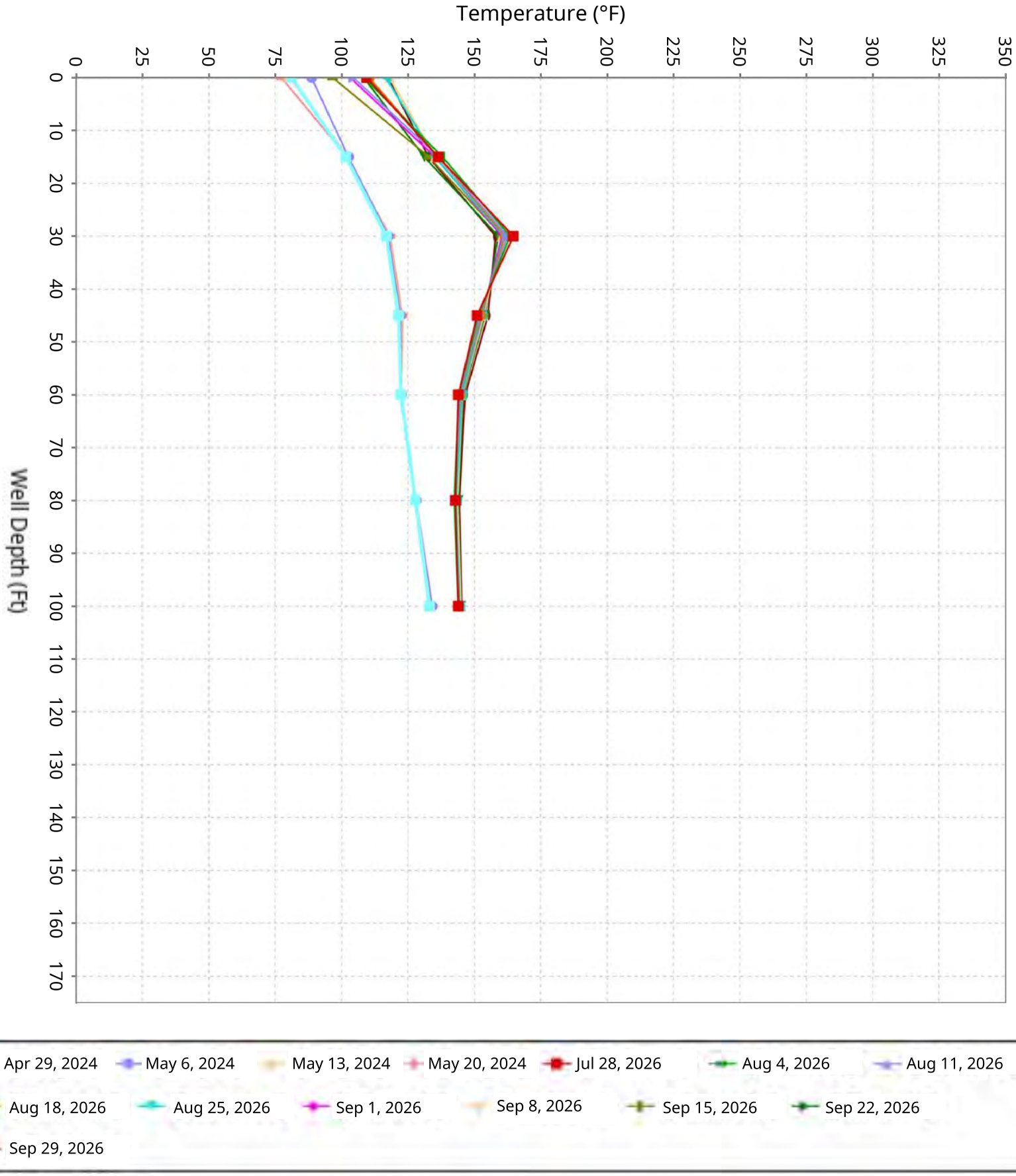
Maximum weekly data for initial 4-weeks of operation compared to the latest 10-weeks



SCS ENGINEERS

Vertical Temperature Profiles from Temperature Probes at Chiquita Landfill for TP-16

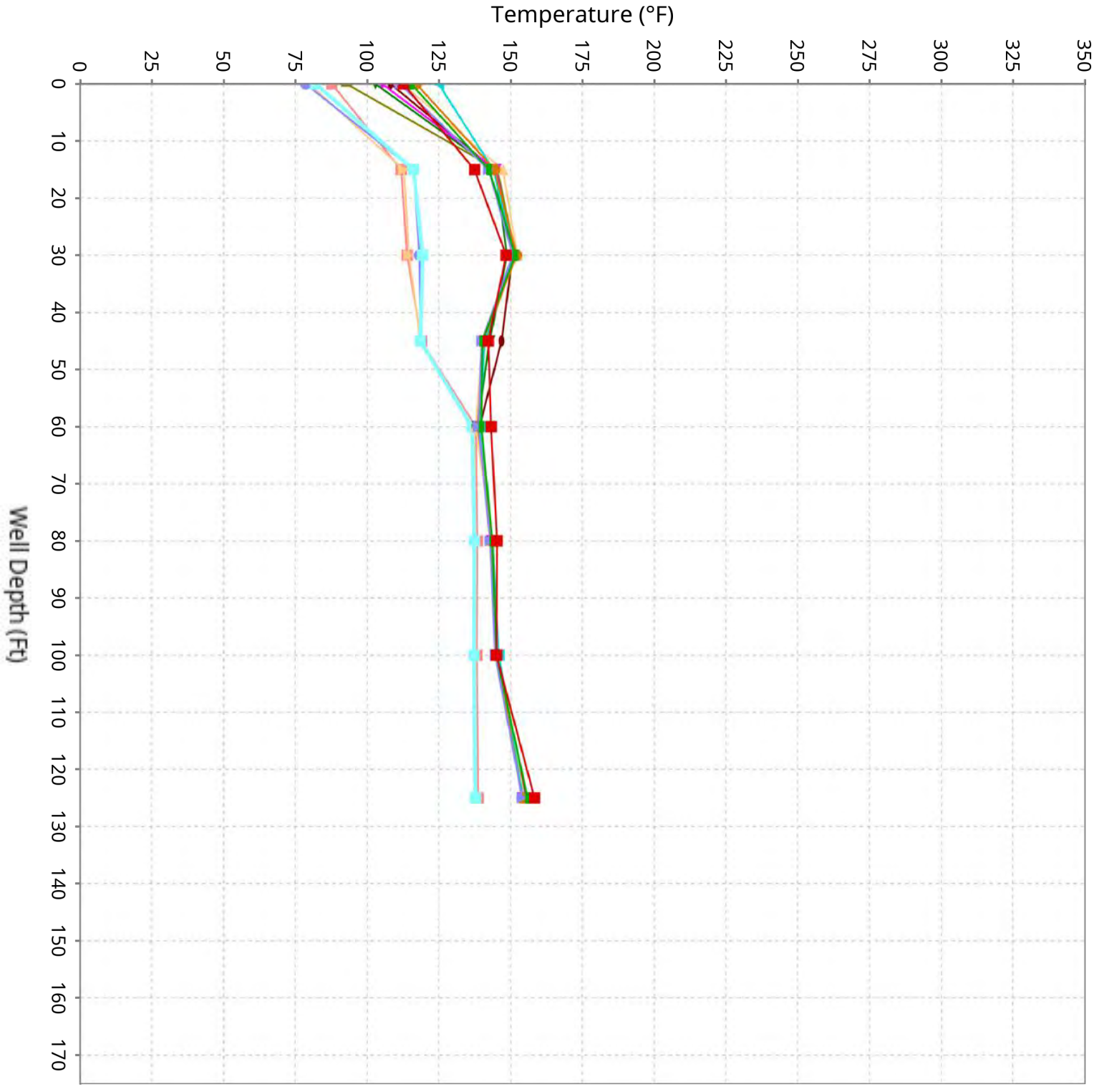
Maximum weekly data for initial 4-weeks of operation compared to the latest 10-weeks



SCS ENGINEERS

Vertical Temperature Profiles from Temperature Probes at Chiquita Landfill for TP-17

Maximum weekly data for initial 4-weeks of operation compared to the latest 10-weeks

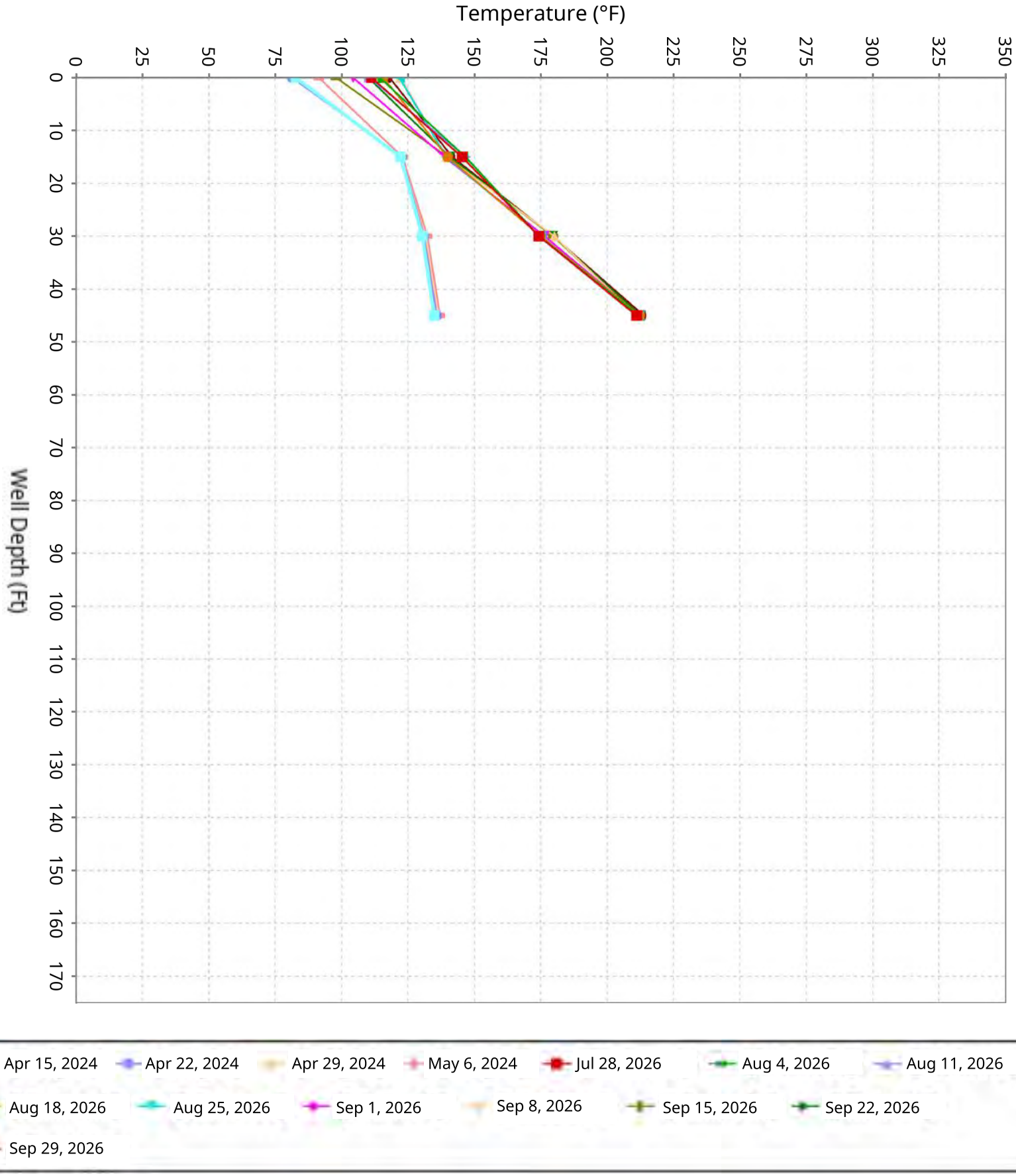


Apr 15, 2024 Apr 22, 2024 Apr 29, 2024 May 6, 2024 Jul 28, 2026 Aug 4, 2026 Aug 11, 2026
Aug 18, 2026 Aug 25, 2026 Sep 1, 2026 Sep 8, 2026 Sep 15, 2026 Sep 22, 2026
Sep 29, 2026

SCS ENGINEERS

Vertical Temperature Profiles from Temperature Probes at Chiquita Landfill for TP-18

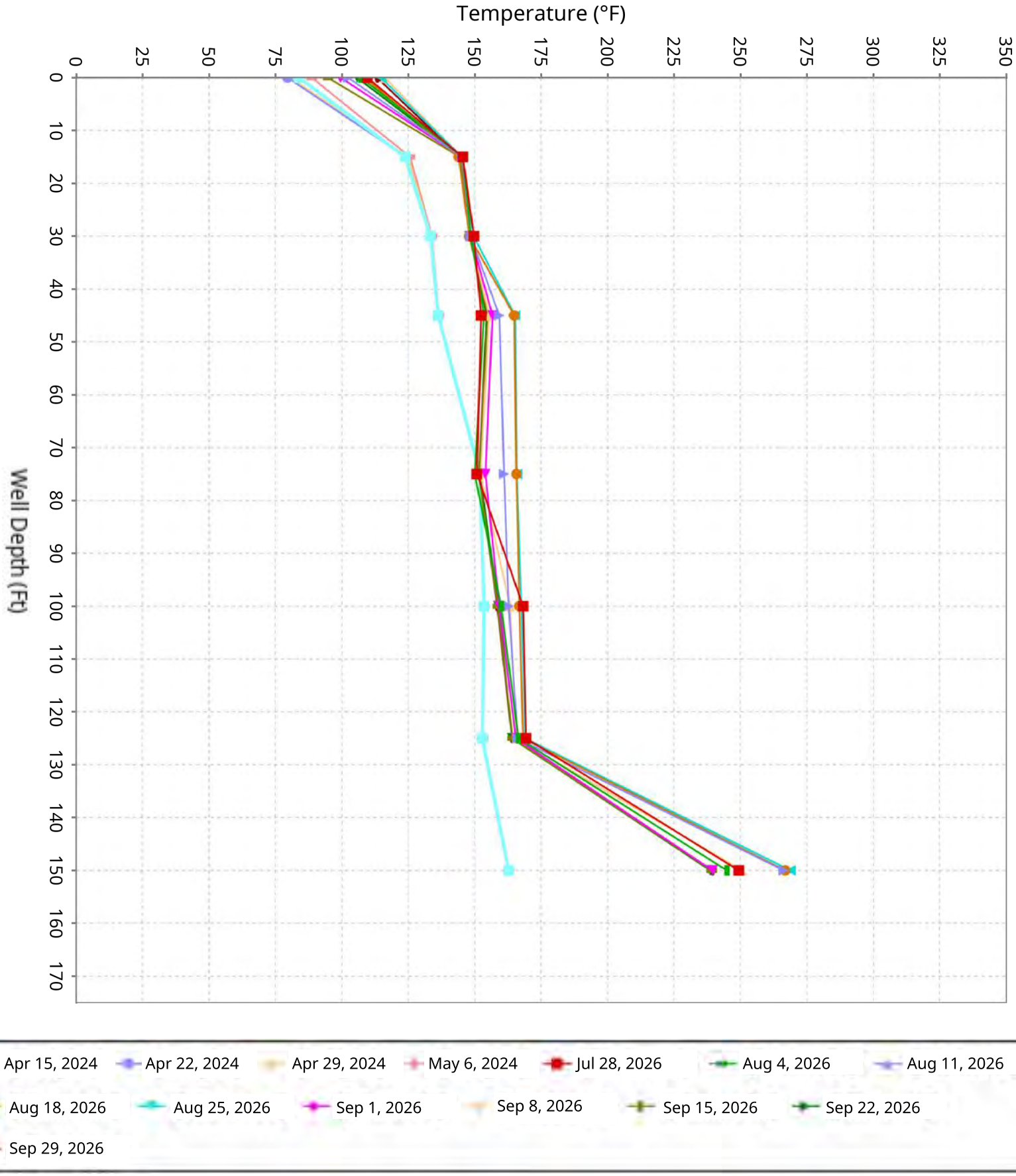
Maximum weekly data for initial 4-weeks of operation compared to the latest 10-weeks



SCS ENGINEERS

Vertical Temperature Profiles from Temperature Probes at Chiquita Landfill for TP-19

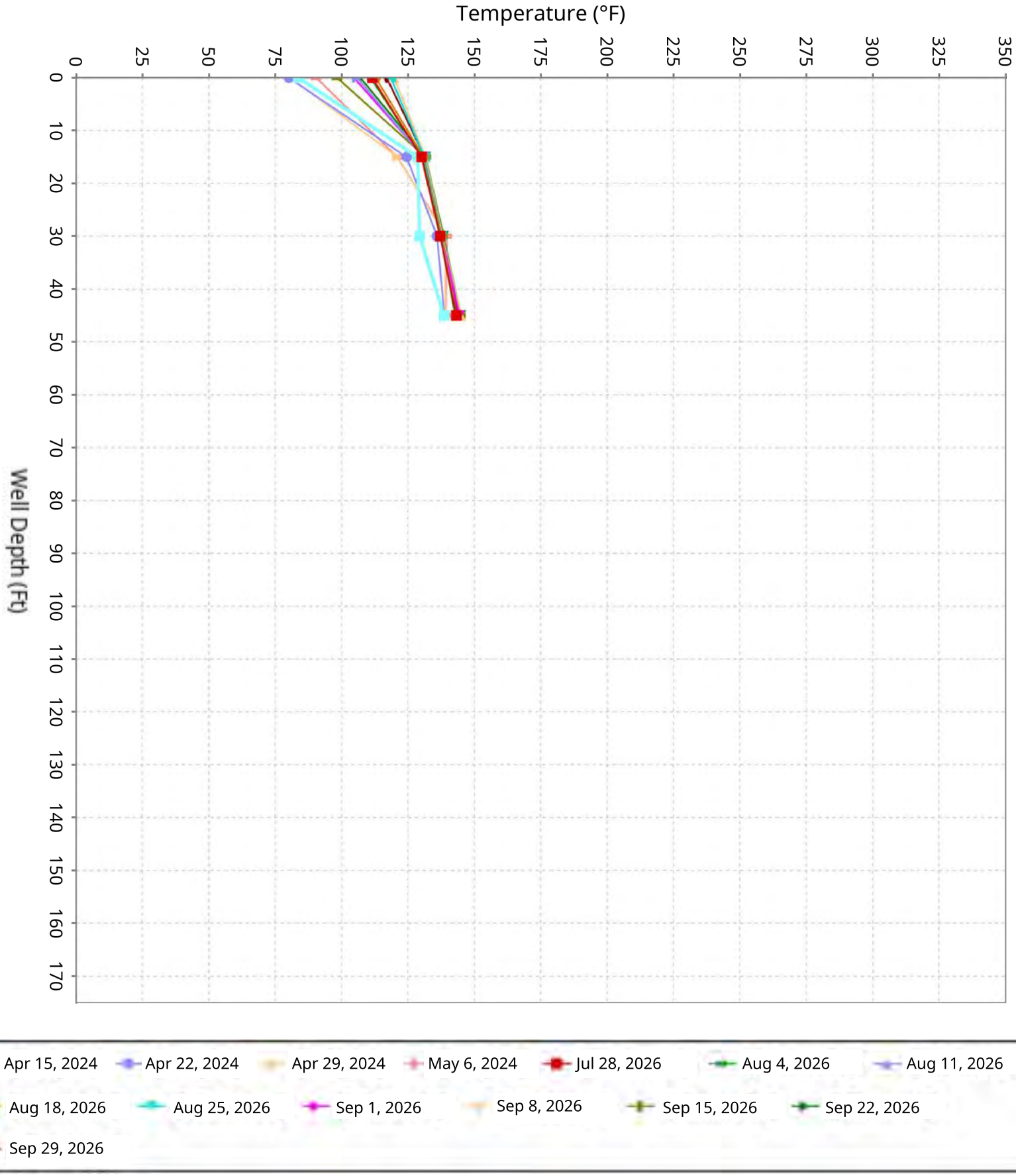
Maximum weekly data for initial 4-weeks of operation compared to the latest 10-weeks



SCS ENGINEERS

Vertical Temperature Profiles from Temperature Probes at Chiquita Landfill for TP-20

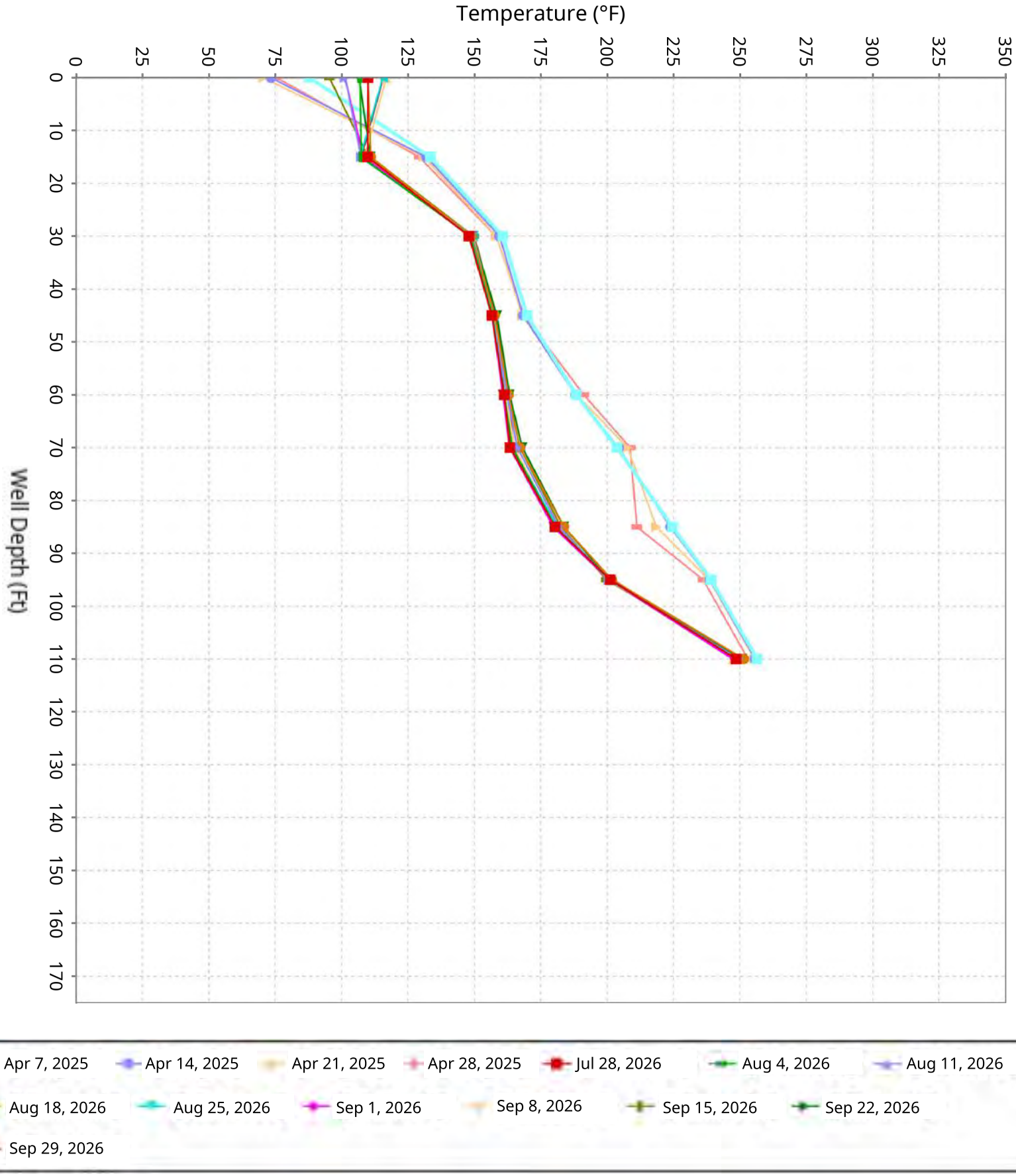
Maximum weekly data for initial 4-weeks of operation compared to the latest 10-weeks



SCS ENGINEERS

Vertical Temperature Profiles from Temperature Probes at Chiquita Landfill for TP-21

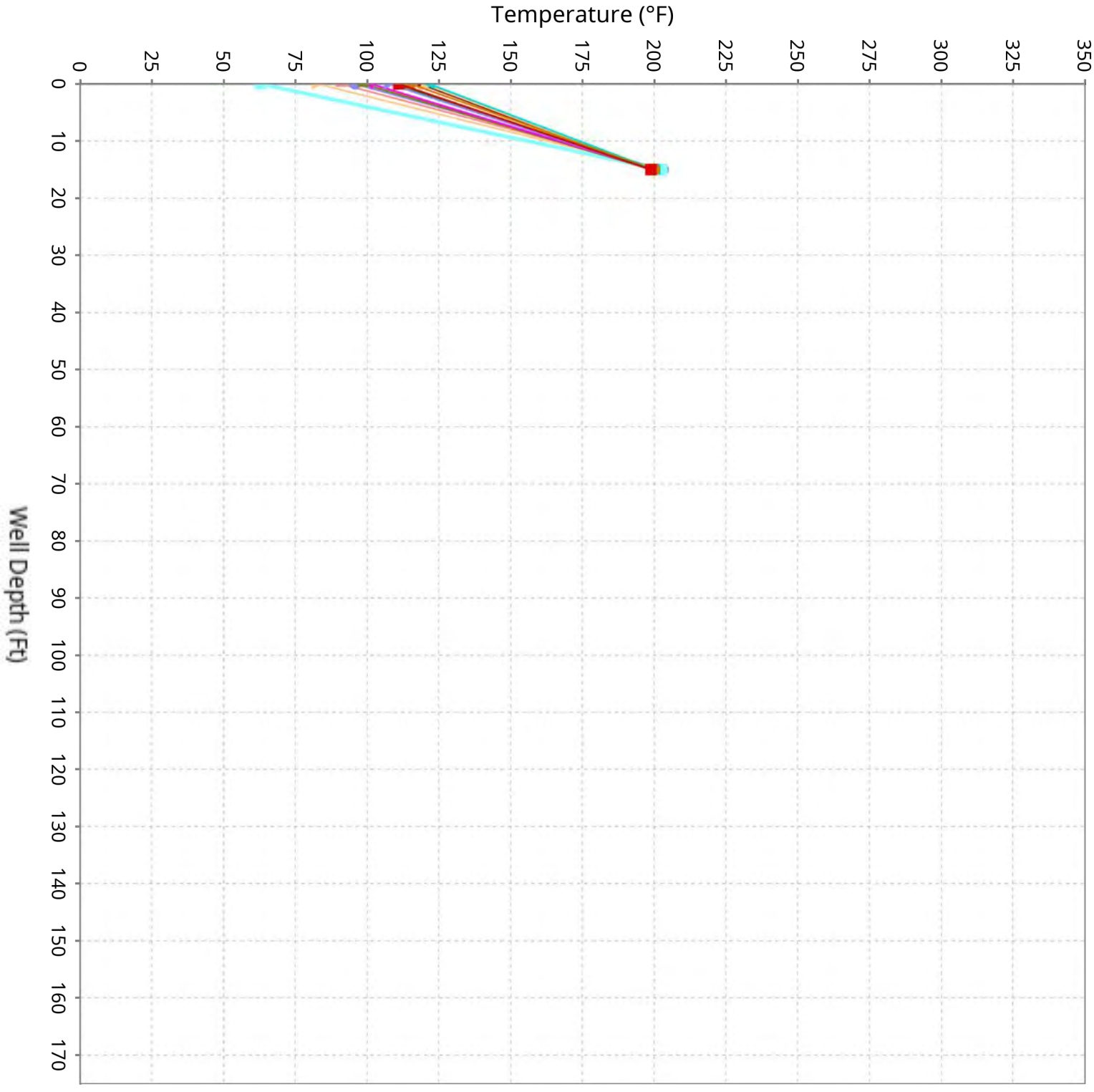
Maximum weekly data for initial 4-weeks of operation compared to the latest 10-weeks



SCS ENGINEERS

Vertical Temperature Profiles from Temperature Probes at Chiquita Landfill for TP-22

Maximum weekly data for initial 4-weeks of operation compared to the latest 10-weeks

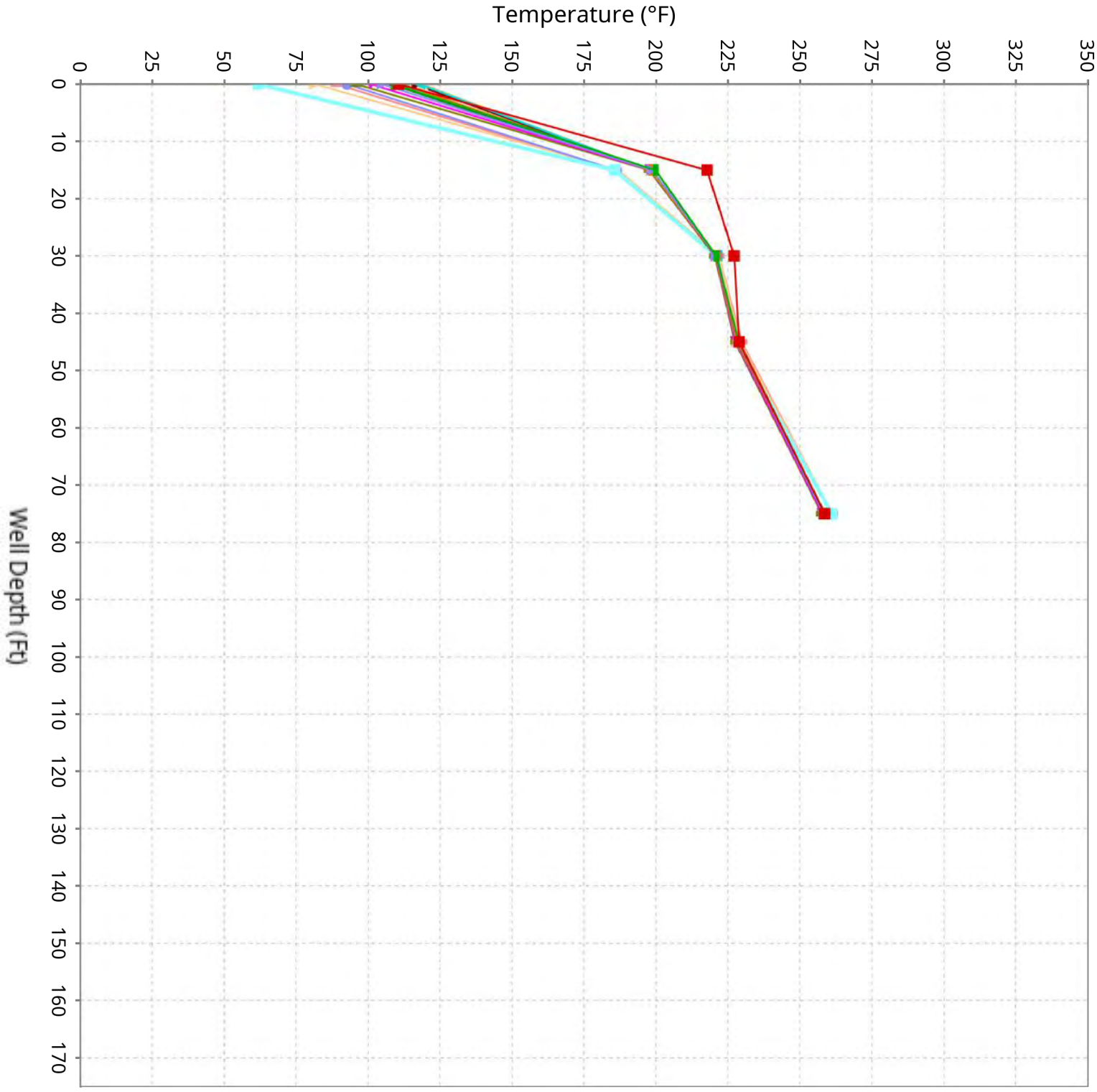


Feb 16, 2026 Feb 23, 2026 Mar 2, 2026 Mar 9, 2026 Jul 28, 2026 Aug 4, 2026 Aug 11, 2026
Aug 18, 2026 Aug 25, 2026 Sep 1, 2026 Sep 8, 2026 Sep 15, 2026 Sep 22, 2026
Sep 29, 2026

SCS ENGINEERS

Vertical Temperature Profiles from Temperature Probes at Chiquita Landfill for TP-23

Maximum weekly data for initial 4-weeks of operation compared to the latest 10-weeks

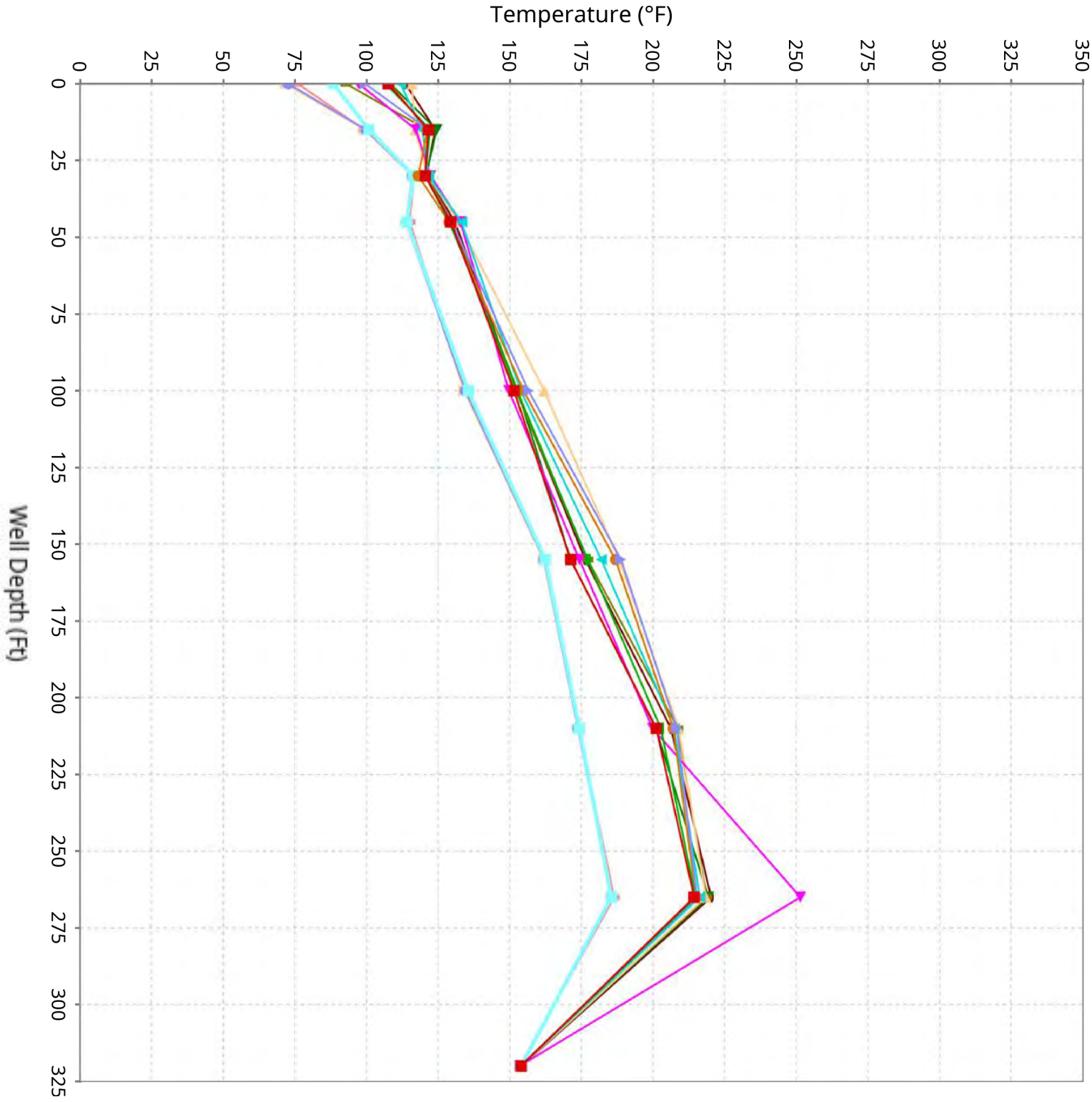


Feb 16, 2026 Feb 23, 2026 Mar 2, 2026 Mar 9, 2026 Jul 28, 2026 Aug 4, 2026 Aug 11, 2026
Aug 18, 2026 Aug 25, 2026 Sep 1, 2026 Sep 8, 2026 Sep 15, 2026 Sep 22, 2026
Sep 29, 2026

SCS ENGINEERS

Vertical Temperature Profiles from Temperature Probes at Chiquita Landfill for TP-24

Maximum weekly data for initial 4-weeks of operation compared to the latest 10-weeks

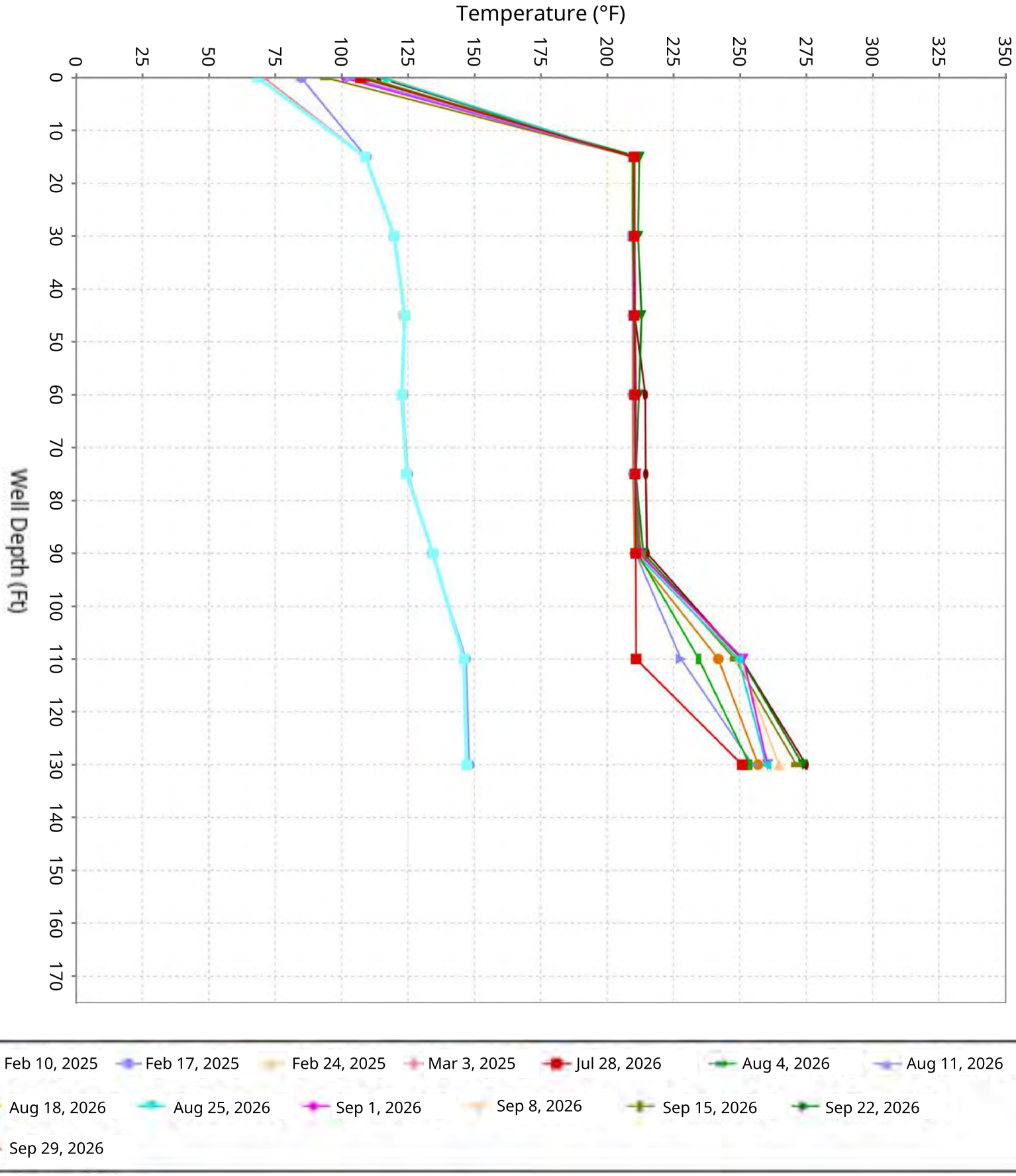


Apr 7, 2025 Apr 14, 2025 Apr 21, 2025 Apr 28, 2025 Jul 28, 2026 Aug 4, 2026 Aug 11, 2026
Aug 18, 2026 Aug 25, 2026 Sep 1, 2026 Sep 8, 2026 Sep 15, 2026 Sep 22, 2026
Sep 29, 2026

SCS ENGINEERS

Vertical Temperature Profiles from Temperature Probes at Chiquita Landfill for TP-25

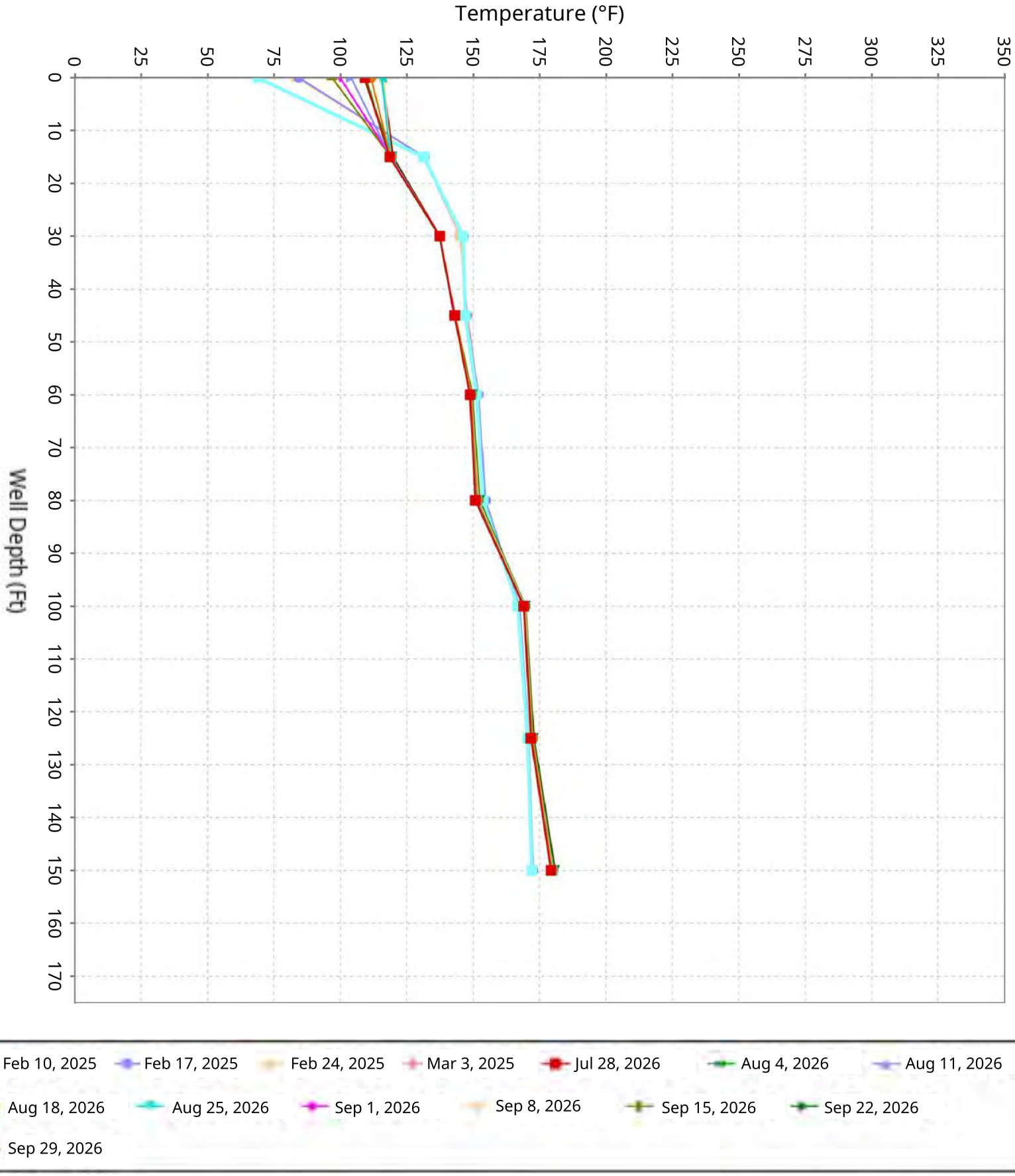
Maximum weekly data for initial 4-weeks of operation compared to the latest 10-weeks



SCS ENGINEERS

Vertical Temperature Profiles from Temperature Probes at Chiquita Landfill for TP-26

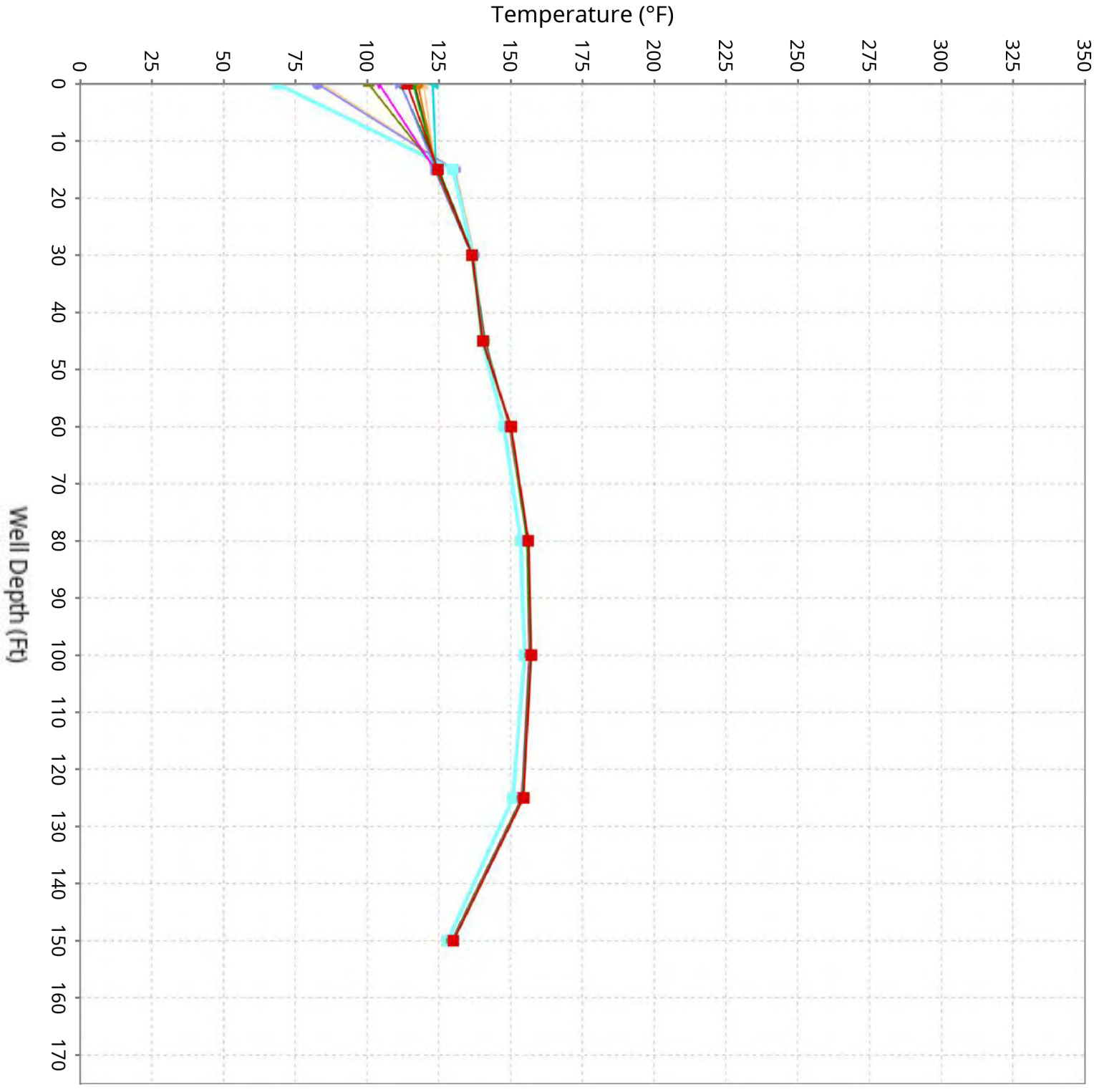
Maximum weekly data for initial 4-weeks of operation compared to the latest 10-weeks



SCS ENGINEERS

Vertical Temperature Profiles from Temperature Probes at Chiquita Landfill for TP-27

Maximum weekly data for initial 4-weeks of operation compared to the latest 10-weeks

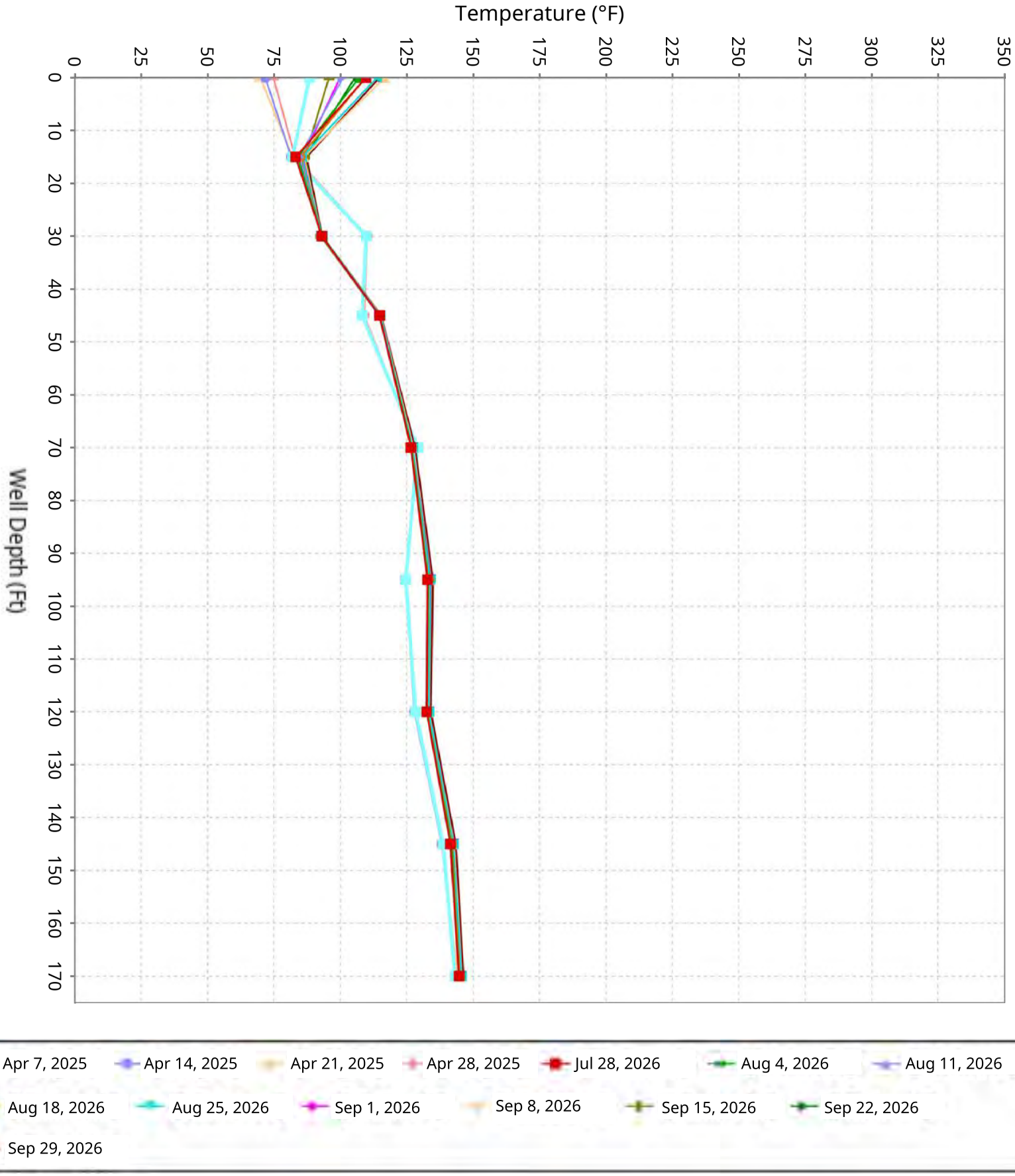


Feb 10, 2025 Feb 17, 2025 Feb 24, 2025 Mar 3, 2025 Jul 28, 2026 Aug 4, 2026 Aug 11, 2026
Aug 18, 2026 Aug 25, 2026 Sep 1, 2026 Sep 8, 2026 Sep 15, 2026 Sep 22, 2026
Sep 29, 2026

SCS ENGINEERS

Vertical Temperature Profiles from Temperature Probes at Chiquita Landfill for TP-28

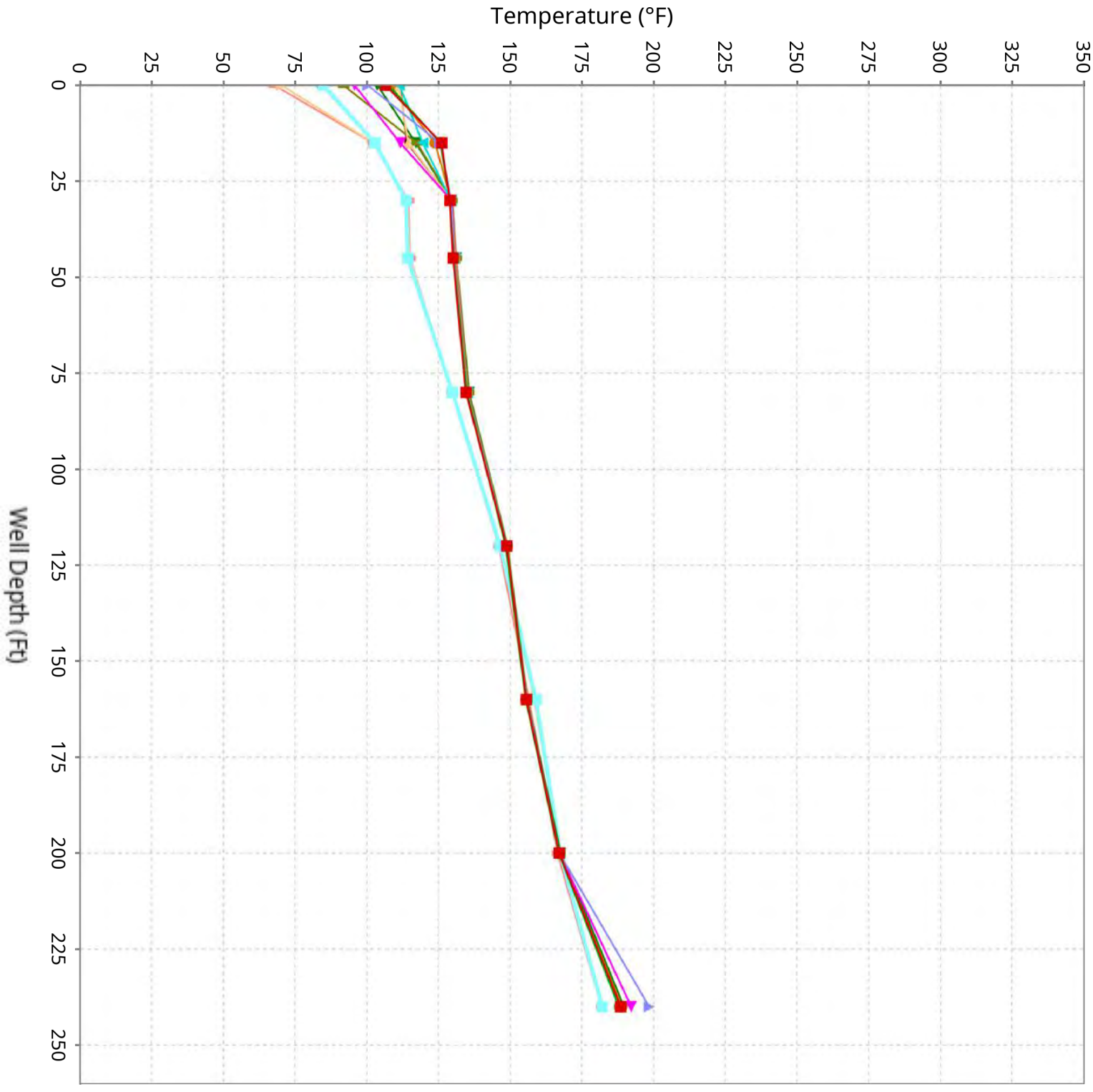
Maximum weekly data for initial 4-weeks of operation compared to the latest 10-weeks



SCS ENGINEERS

Vertical Temperature Profiles from Temperature Probes at Chiquita Landfill for TP-29

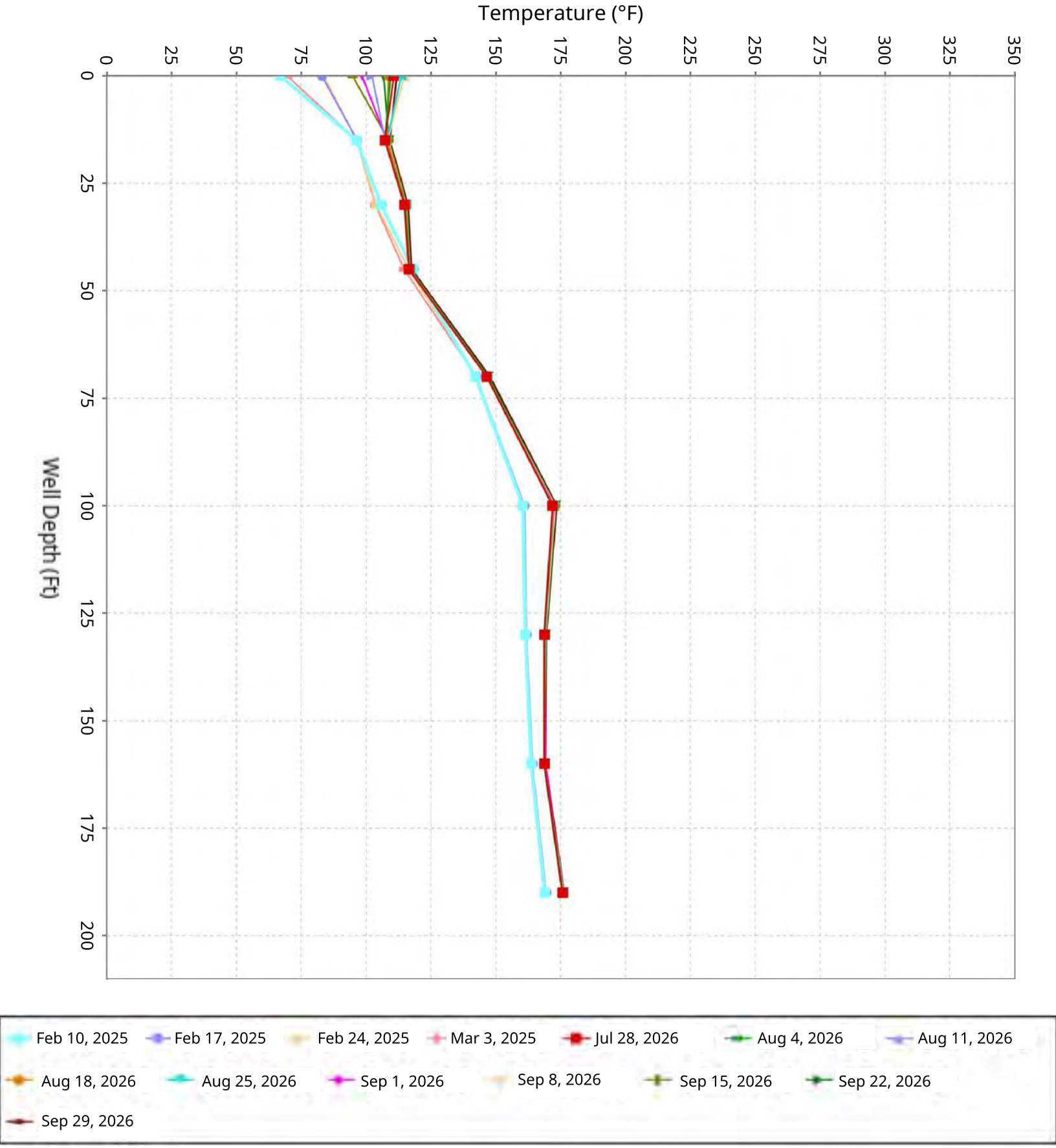
Maximum weekly data for initial 4-weeks of operation compared to the latest 10-weeks



SCS ENGINEERS

Vertical Temperature Profiles from Temperature Probes at Chiquita Landfill for TP-30

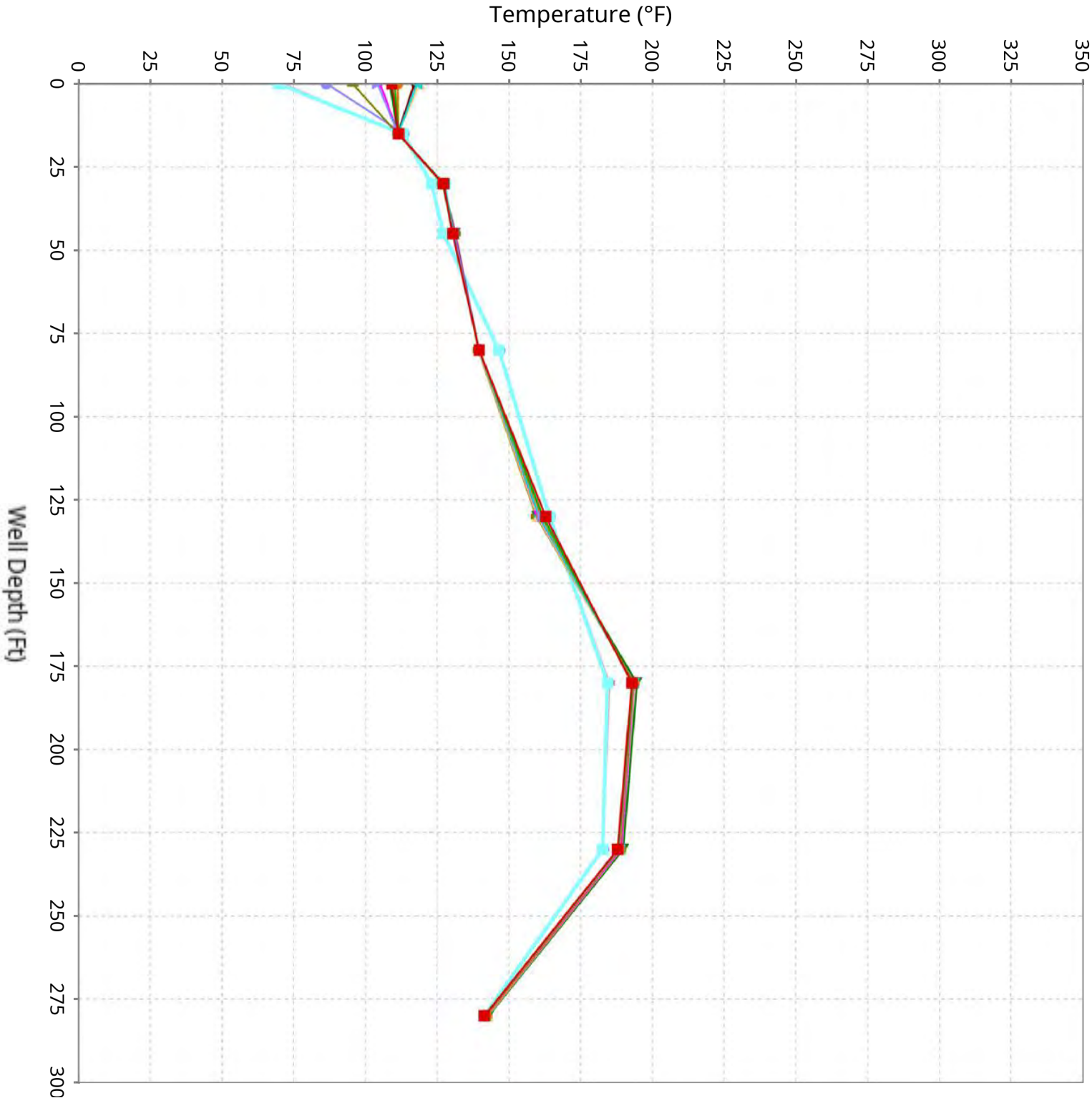
Maximum weekly data for initial 4-weeks of operation compared to the latest 10-weeks



SCS ENGINEERS

Vertical Temperature Profiles from Temperature Probes at Chiquita Landfill for TP-31

Maximum weekly data for initial 4-weeks of operation compared to the latest 10-weeks

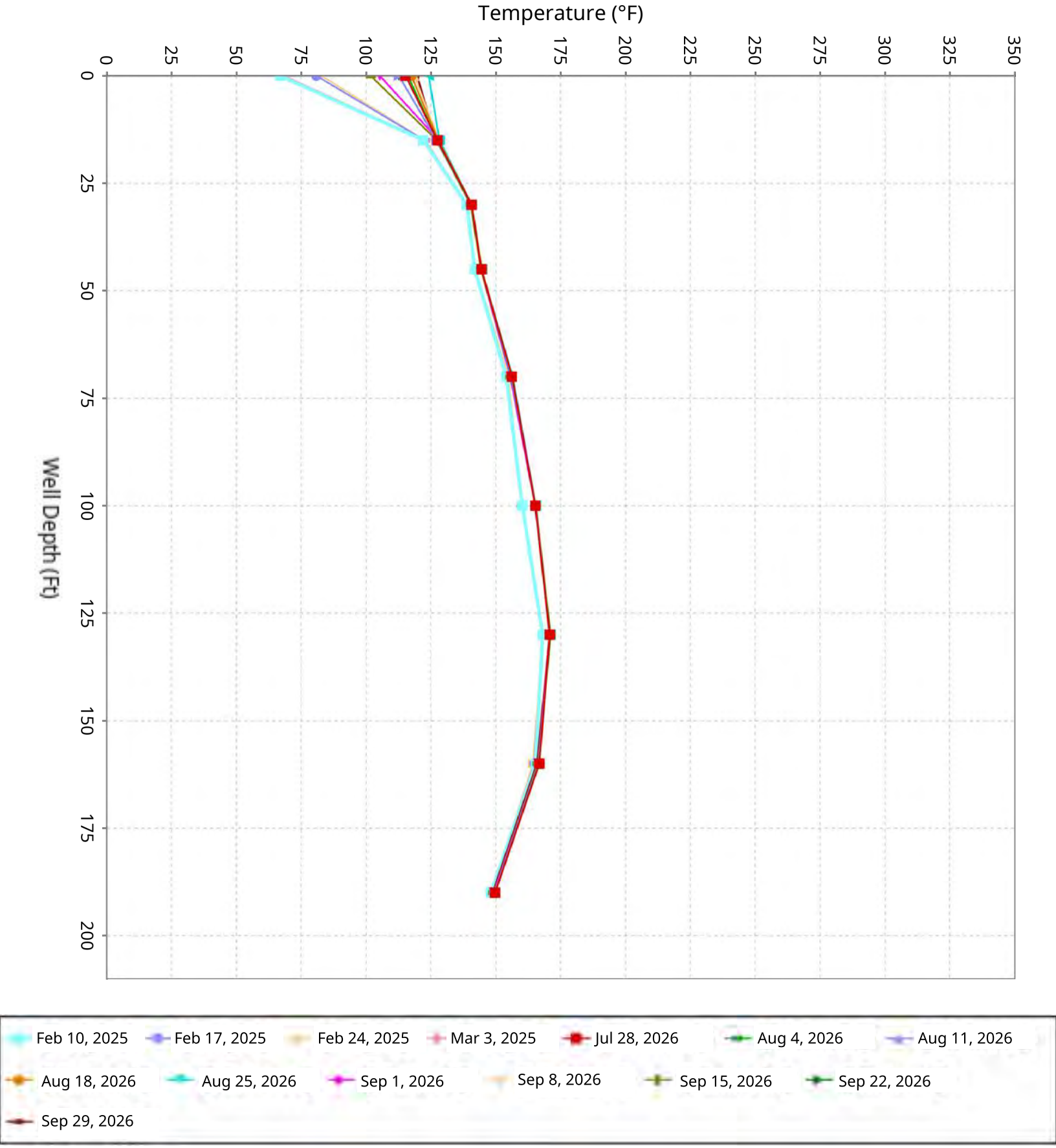


Feb 10, 2025 Feb 17, 2025 Feb 24, 2025 Mar 3, 2025 Jul 28, 2026 Aug 4, 2026 Aug 11, 2026
Aug 18, 2026 Aug 25, 2026 Sep 1, 2026 Sep 8, 2026 Sep 15, 2026 Sep 22, 2026
Sep 29, 2026

SCS ENGINEERS

Vertical Temperature Profiles from Temperature Probes at Chiquita Landfill for TP-32

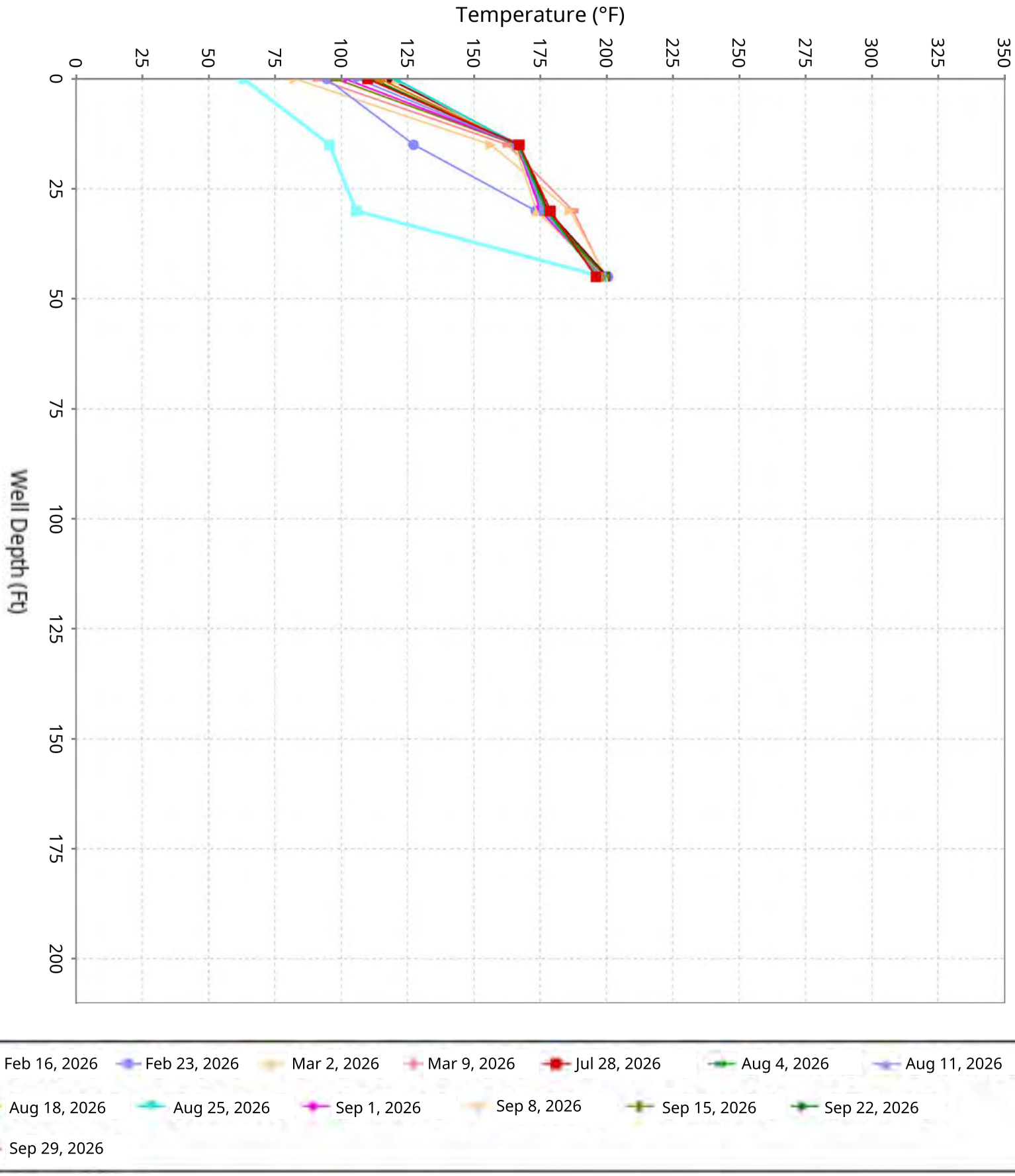
Maximum weekly data for initial 4-weeks of operation compared to the latest 10-weeks



SCS ENGINEERS

Vertical Temperature Profiles from Temperature Probes at Chiquita Landfill for TP-33

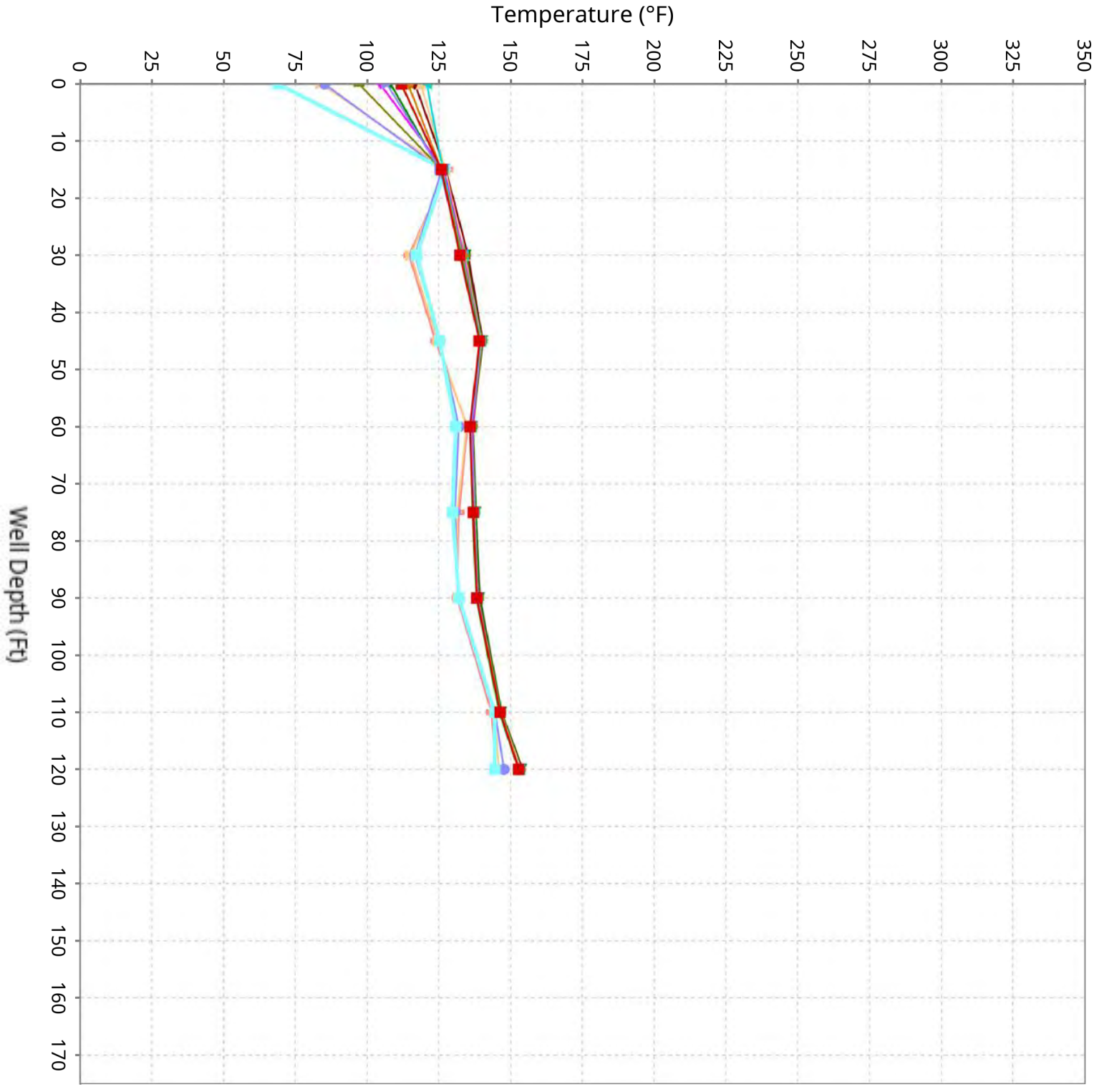
Maximum weekly data for initial 4-weeks of operation compared to the latest 10-weeks



SCS ENGINEERS

Vertical Temperature Profiles from Temperature Probes at Chiquita Landfill for TP-34

Maximum weekly data for initial 4-weeks of operation compared to the latest 10-weeks

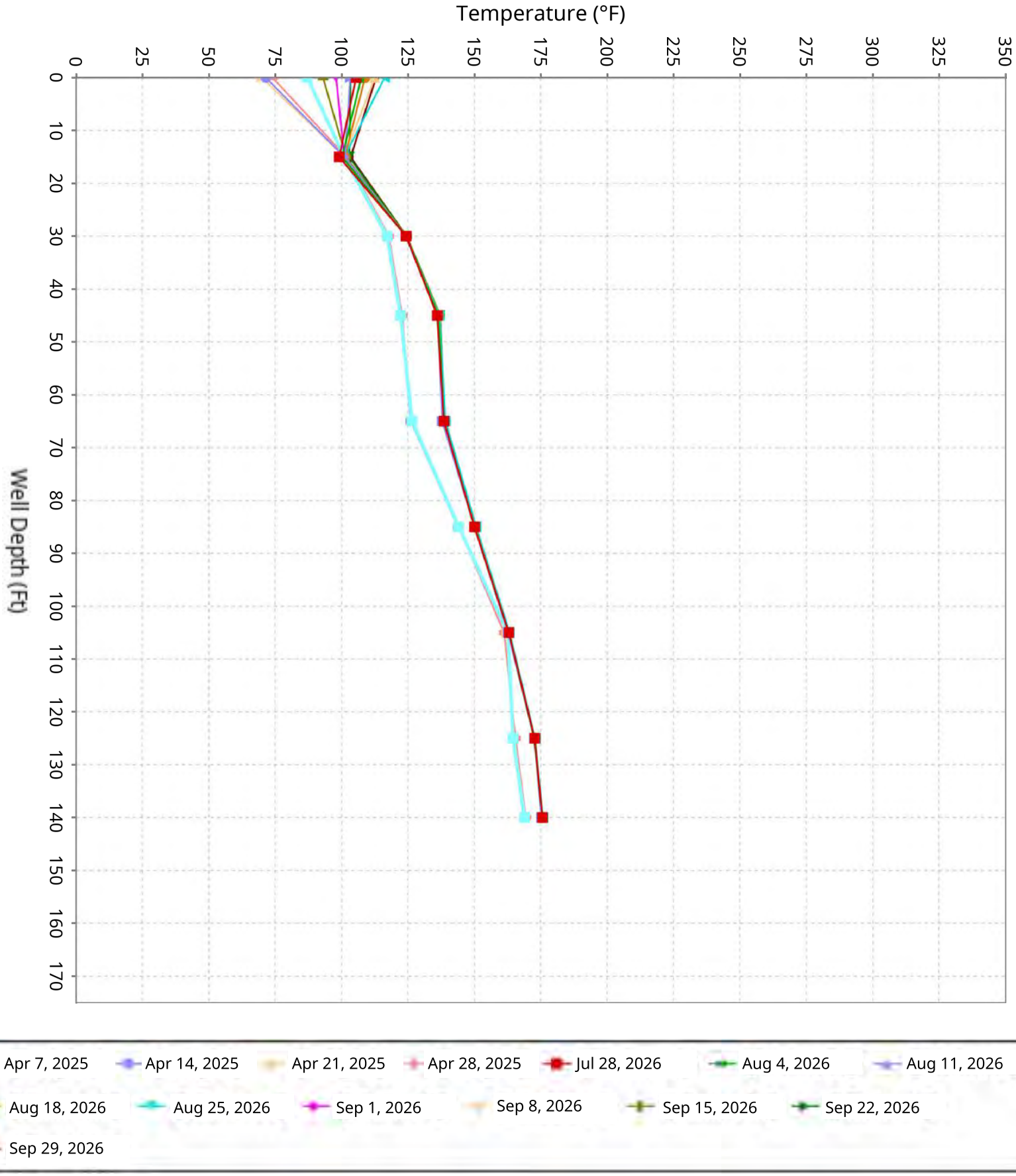


Feb 10, 2025 Feb 17, 2025 Feb 24, 2025 Mar 3, 2025 Jul 28, 2026 Aug 4, 2026 Aug 11, 2026
Aug 18, 2026 Aug 25, 2026 Sep 1, 2026 Sep 8, 2026 Sep 15, 2026 Sep 22, 2026
Sep 29, 2026

SCS ENGINEERS

Vertical Temperature Profiles from Temperature Probes at Chiquita Landfill for TP-35

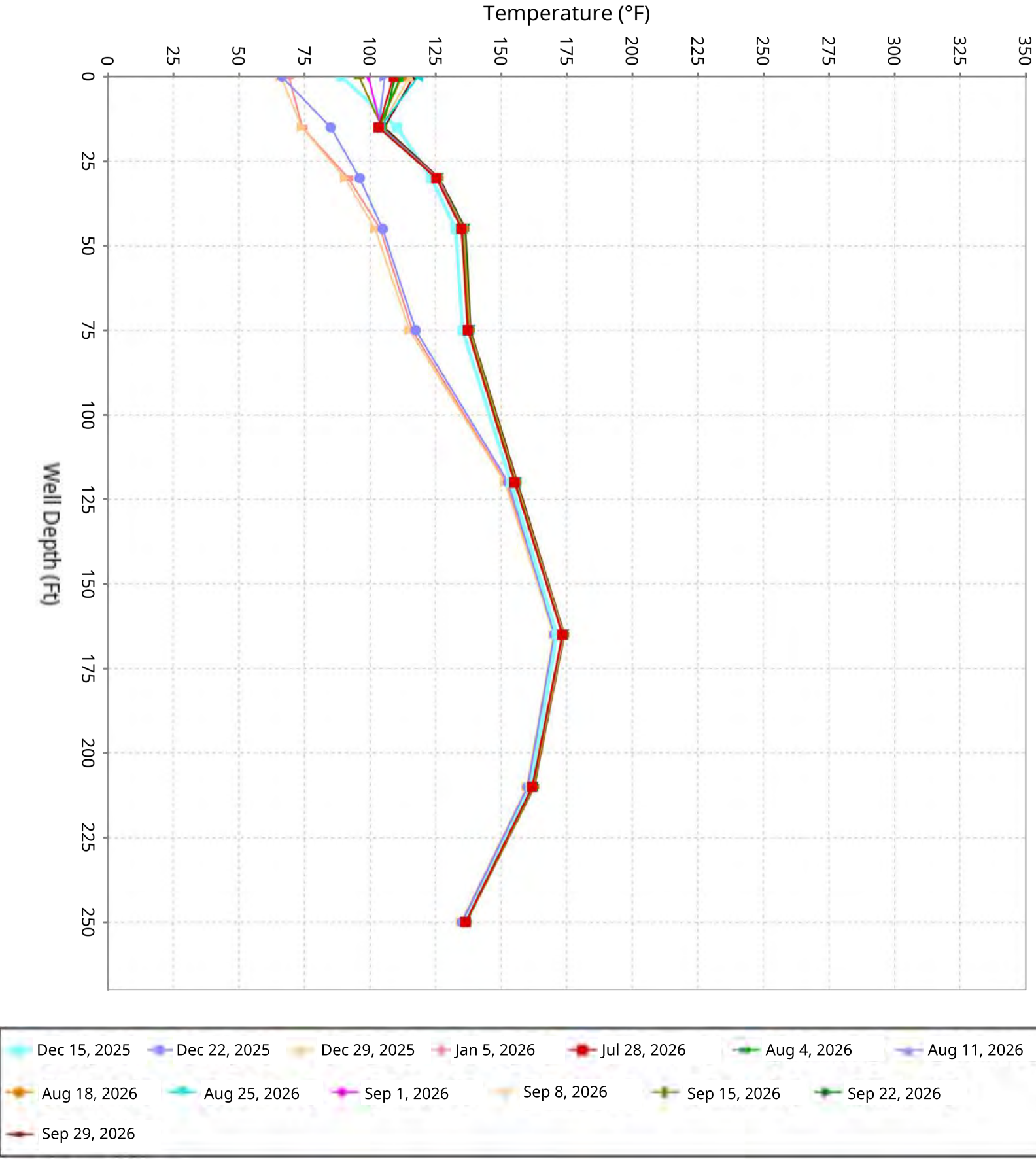
Maximum weekly data for initial 4-weeks of operation compared to the latest 10-weeks



SCS ENGINEERS

Vertical Temperature Profiles from Temperature Probes at Chiquita Landfill for TP-36

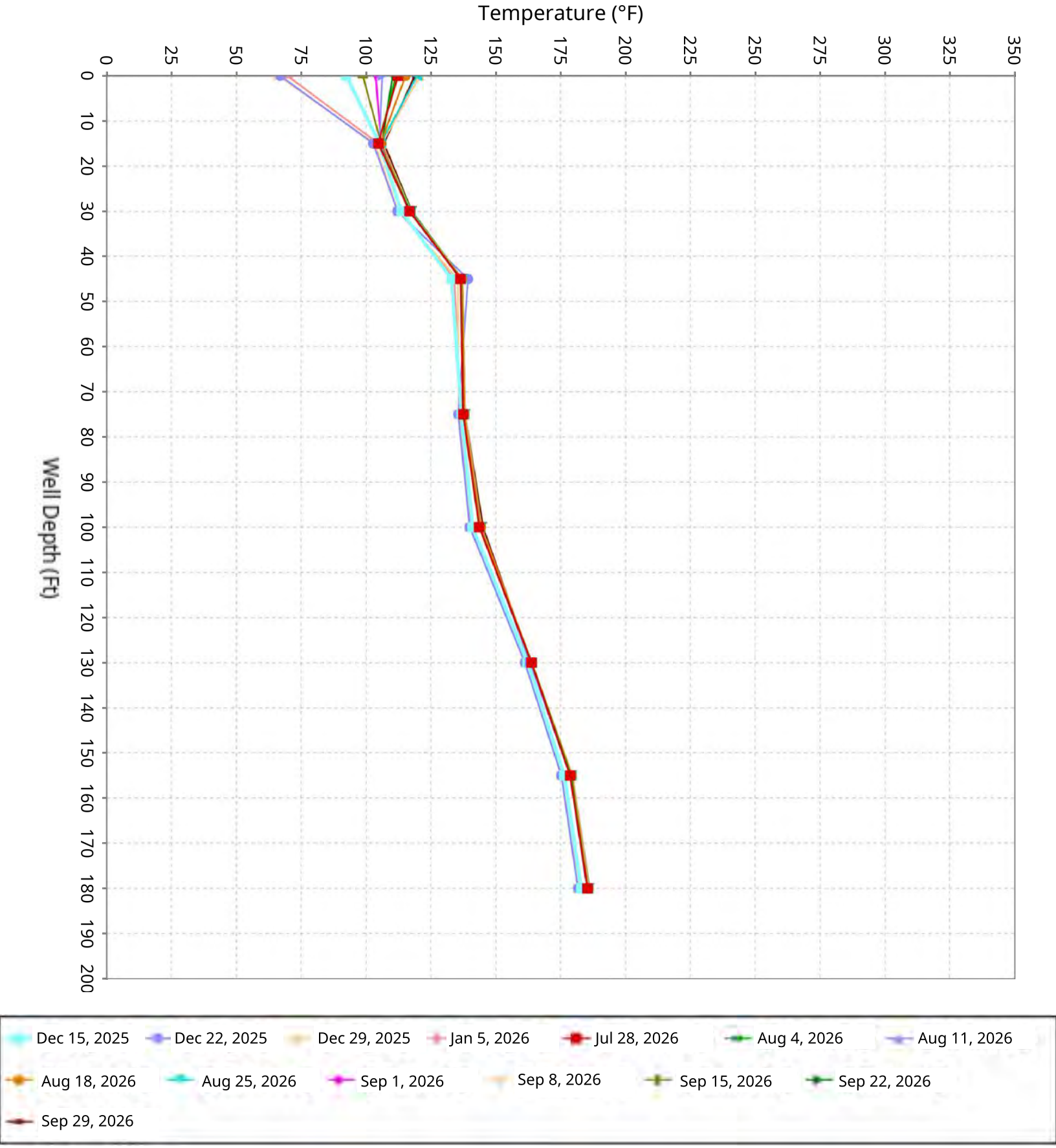
Maximum weekly data for initial 4-weeks of operation compared to the latest 10-weeks



SCS ENGINEERS

Vertical Temperature Profiles from Temperature Probes at Chiquita Landfill for TP-37

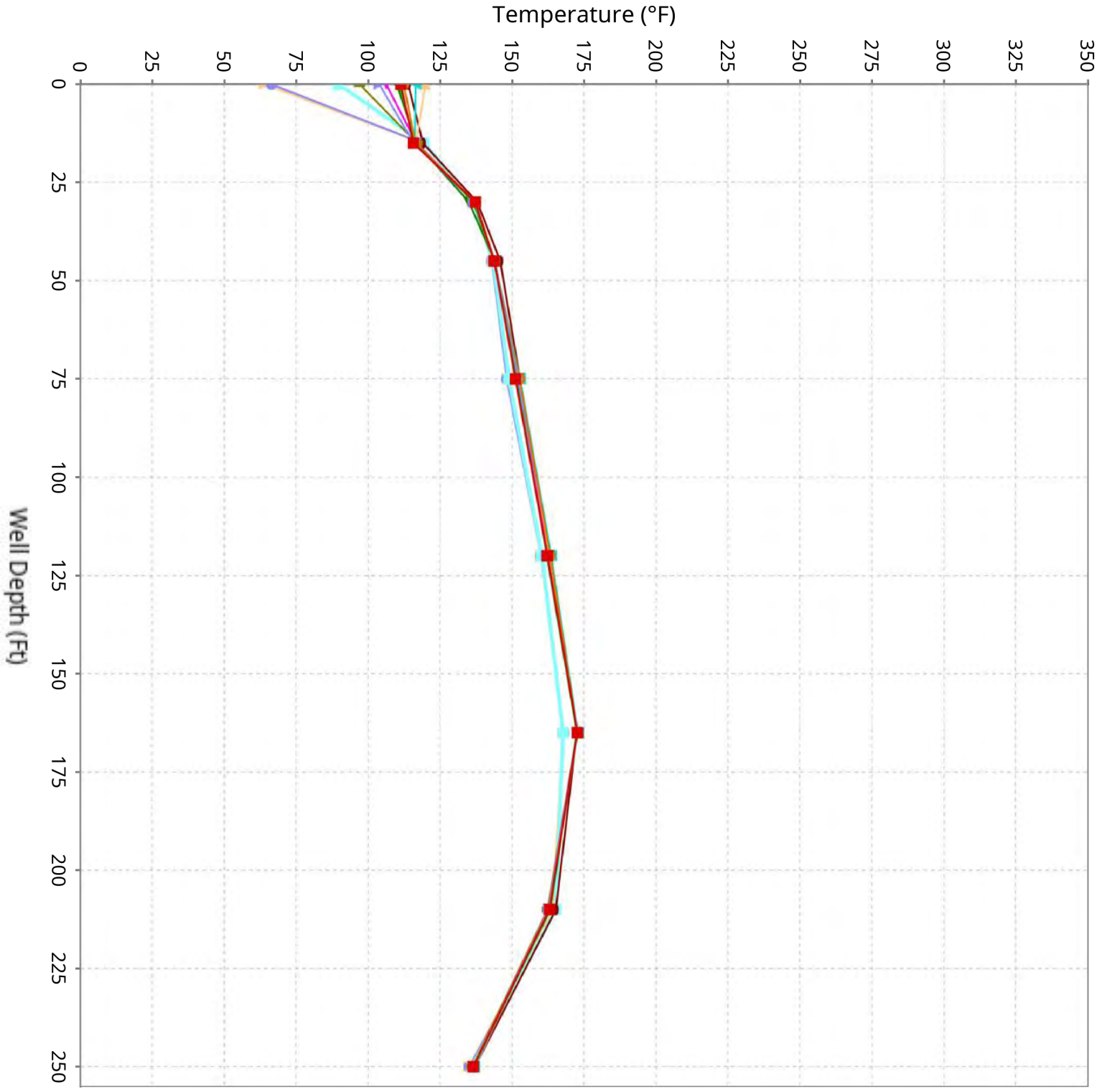
Maximum weekly data for initial 4-weeks of operation compared to the latest 10-weeks



SCS ENGINEERS

Vertical Temperature Profiles from Temperature Probes at Chiquita Landfill for TP-38

Maximum weekly data for initial 4-weeks of operation compared to the latest 10-weeks



Dec 15, 2025 Dec 22, 2025 Dec 29, 2025 Jan 5, 2026 Jul 28, 2026 Aug 4, 2026 Aug 11, 2026
Aug 18, 2026 Aug 25, 2026 Sep 1, 2026 Sep 8, 2026 Sep 15, 2026 Sep 22, 2026
Sep 29, 2026

SCS ENGINEERS

Vertical Temperature Profiles from Temperature Probes at Chiquita Landfill for TP-39

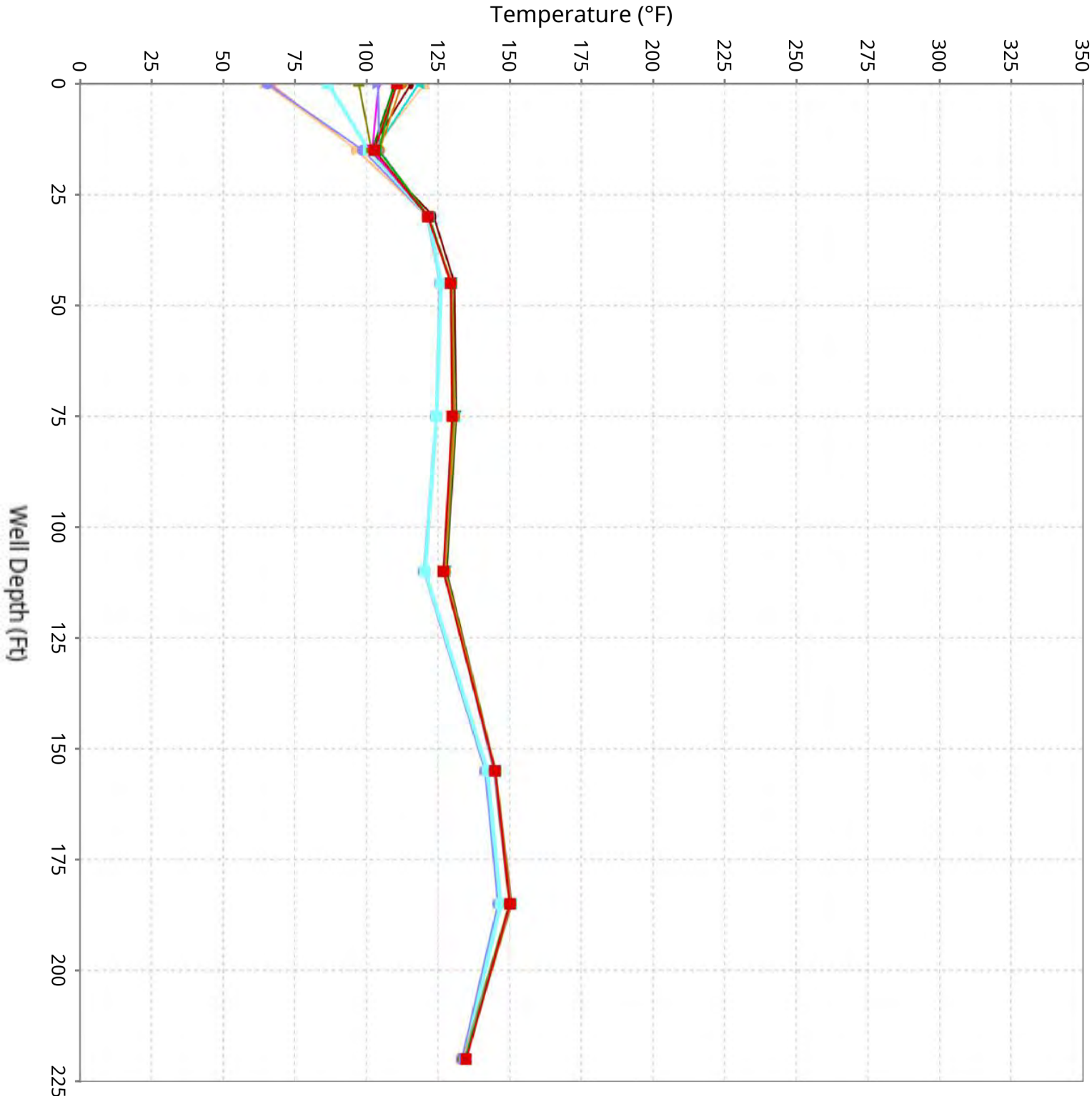
Maximum weekly data for initial 4-weeks of operation compared to the latest 10-weeks



SCS ENGINEERS

Vertical Temperature Profiles from Temperature Probes at Chiquita Landfill for TP-40

Maximum weekly data for initial 4-weeks of operation compared to the latest 10-weeks



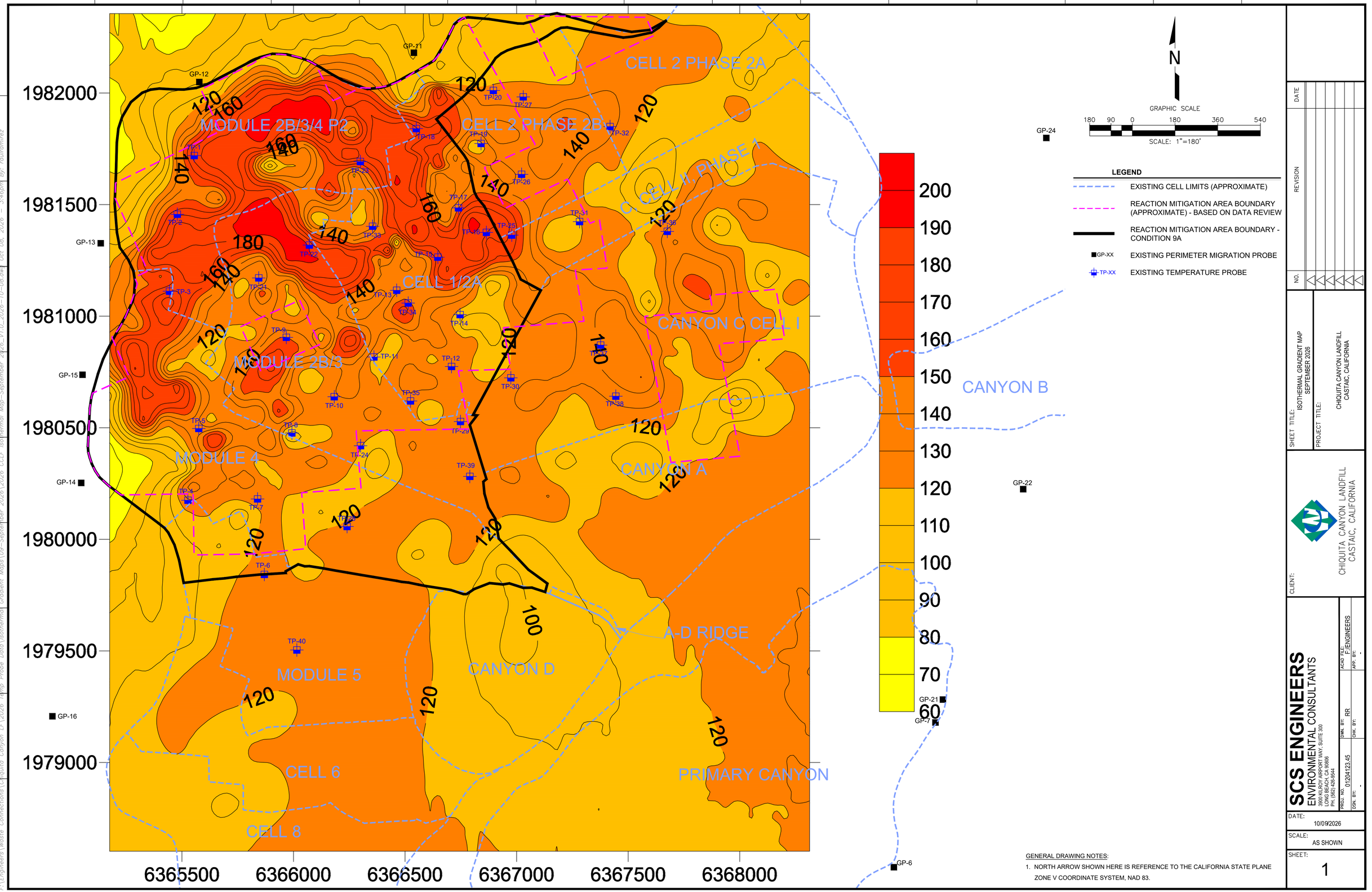
SCS ENGINEERS

C

Attachment

Isothermal Gradient Range Map

Reaction Mitigation Area Boundary Determination
Chiquita Canyon Landfill
10/09/2026



GENERAL DRAWING NOTES:

1. NORTH ARROW SHOWN HERE IS REFERENCE TO THE CALIFORNIA STATE PLANE ZONE V COORDINATE SYSTEM, NAD 83.

DATE

REVISION

NO.

SHEET TITLE: ISOTHERMAL GRADIENT MAP SEPTEMBER 2026

PROJECT TITLE: CHIQUITA CANYON LANDFILL CASTAIC, CALIFORNIA

CLIENT: CHIQUITA CANYON LANDFILL CASTAIC, CALIFORNIA

SCS ENGINEERS
ENVIRONMENTAL CONSULTANTS
3900 KILROY AIRPORT WAY, SUITE 300
LONG BEACH, CA 90806
PH. (562) 426-9544

ACAD FILE: -
APP. BY: -
DWN. BY: RR
CHK. BY:
PROJ. NO. 01204123.45
DSN. BY: -

DATE: 10/09/2026

SCALE: AS SHOWN

SHEET: 1

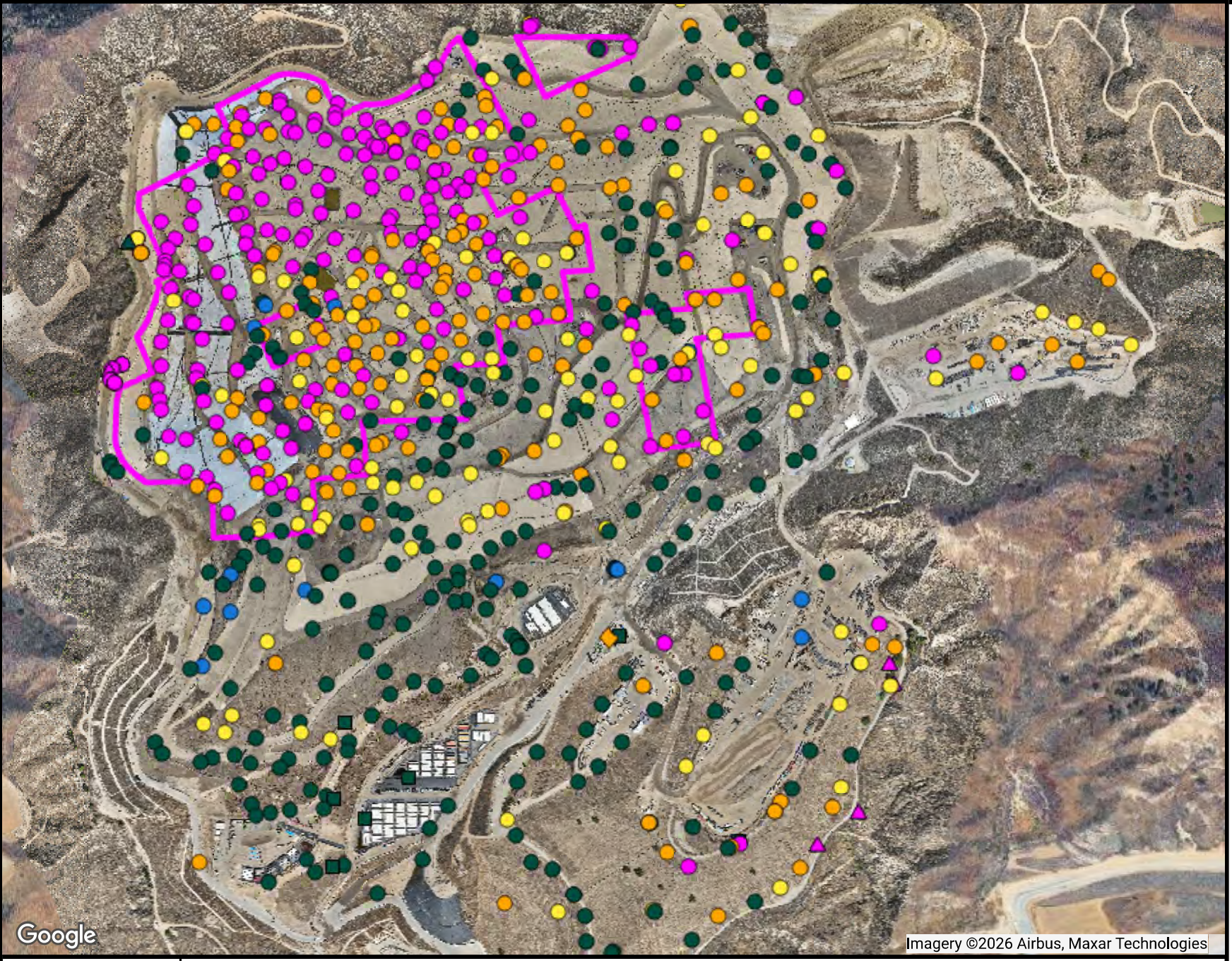
F:\Engineers\Waste Connections\Chiquita Canyon LF\2026 Temp Probe Data\Isothermal Gradient Maps\09-September 2026\2026 CCLF Isothermal Map-September 2026_V1.0_2026-10-08.dwg Oct 08, 2026 - 3:46pm By: raulramirez

D

Attachment

Wellhead Methane-to-Carbon Dioxide Ratio Range Map

Reaction Mitigation Area Boundary Determination
Chiquita Canyon Landfill
10/09/2026



Ranges Mapped

						# Points
	>=	0	and	<	0.5	289
	>=	0.5	and	<	0.9	181
	>=	0.9	and	<	1.1	114
	>=	1.1	and	<	1.5	275
	>=	1.5	and	<	100	22

Point Type Legend

- calibration record
- flare-engine-ghg
- monitoring probe
- sample port
- well

N

SCSeTools

Chiquita Canyon Landfill

Range Map

Parameter: CH4/CO2 Ratio (mid range)

Analysis Method: Maximum

Date Range: 09/01/2026 - 09/30/2026

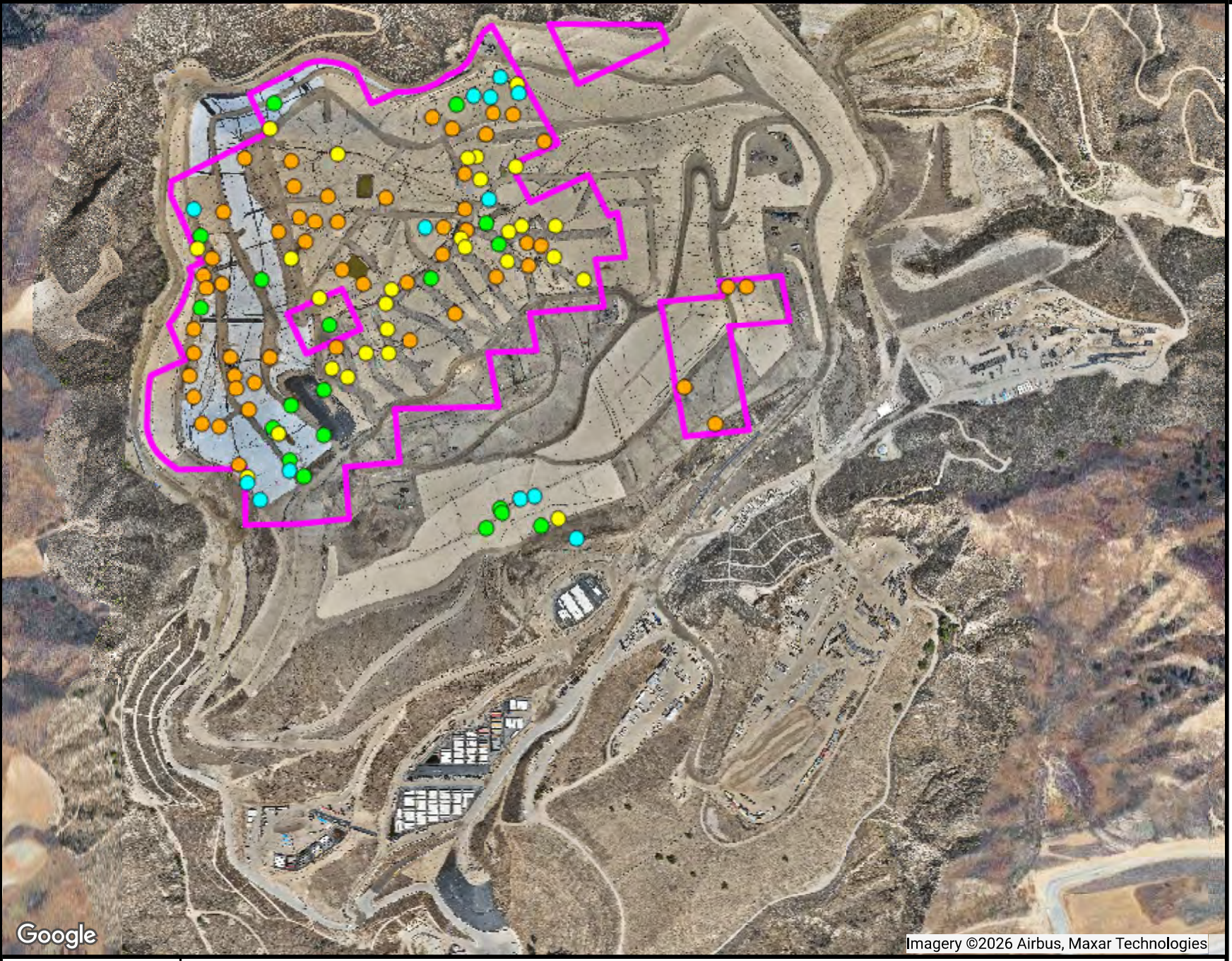
Map generation date : 10/09/2026

E

Attachment

Wellhead Hydrogen Range Map

Reaction Mitigation Area Boundary Determination
Chiquita Canyon Landfill
10/09/2026



Ranges Mapped

						# Points
	>=	0	and	<	20000	16
	>=	20000	and	<	50000	19
	>=	50000	and	<	100000	28
	>=	100000	and	<	999999	53

Point Type Legend

- calibration record
- flare-engine-ghg
- monitoring probe
- sample port
- well

The range values noted above are in units of parts per million (ppm). Divide by 10,000 to convert these values to units of percent by volume

N

SCSeTools

Chiquita Canyon Landfill

Range Map

Parameter: H2 (mid range)

Analysis Method: Maximum

Date Range: 09/01/2026 - 09/30/2026

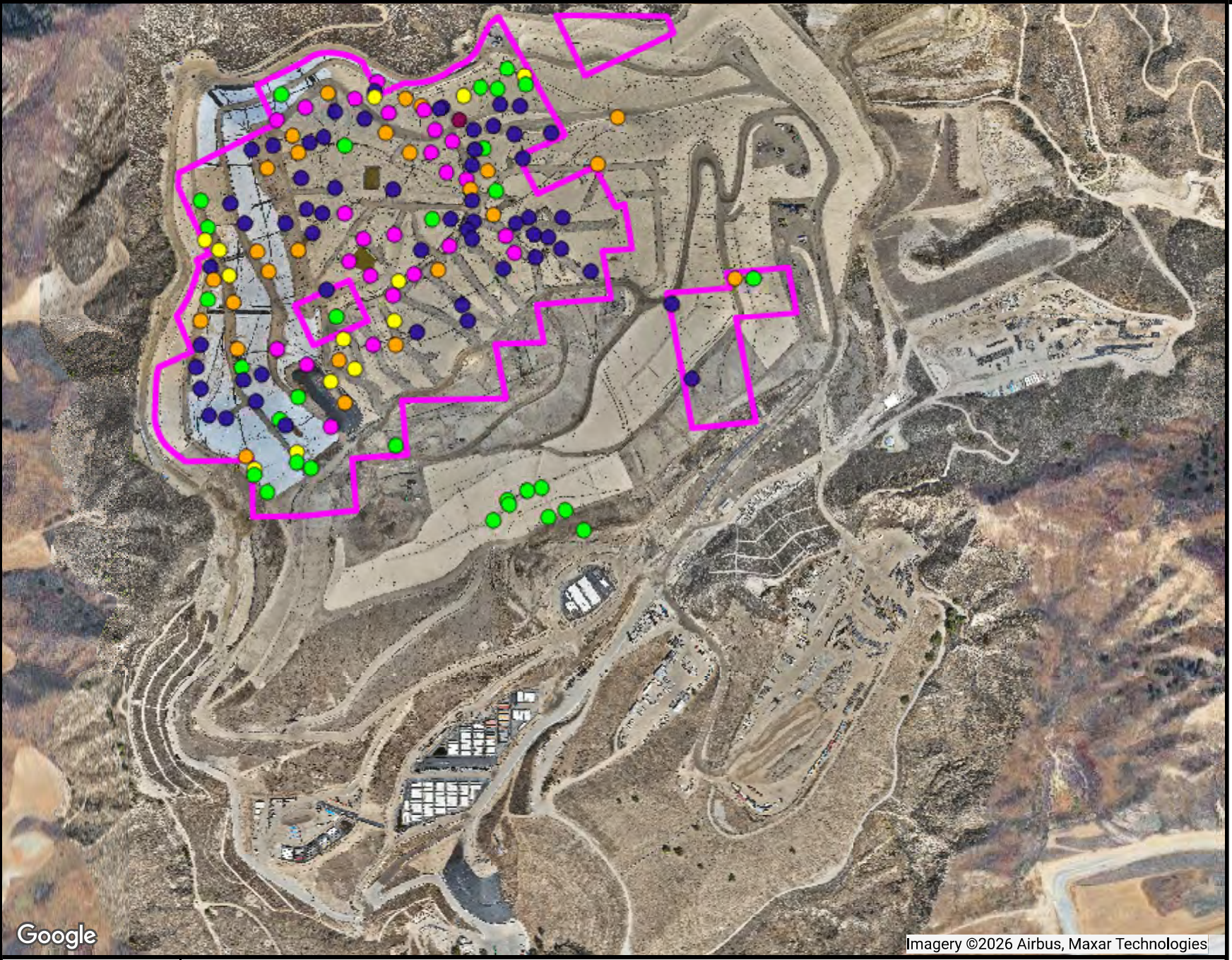
Map generation date : 10/09/2026

F

Attachment

Wellhead Carbon Monoxide Range Map

Reaction Mitigation Area Boundary Determination
Chiquita Canyon Landfill
10/09/2026



Ranges Mapped

						# Points
	>=	0	and	<	500	30
	>=	500	and	<	1000	14
	>=	1000	and	<	1500	26
	>=	1500	and	<	2000	25
	>=	2000	and	<	5000	58
	>=	5000	and	<	100000	1

Point Type Legend

- calibration record
- flare-engine-ghg
- monitoring probe
- sample port
- well

N

SCSeTools

Chiquita Canyon Landfill

Range Map

Parameter: CO LAB (mid range)

Analysis Method: Maximum

Date Range: 09/01/2026 - 09/30/2026

Map generation date : 10/09/2026

G

Attachment

Settlement Isopach Range Maps

Reaction Mitigation Area Boundary Determination
Chiquita Canyon Landfill
10/09/2026



N

GRAPHIC SCALE

200 100 0 200 400 600

SCALE: 1"=200'

LEGEND

EXISTING CELL LIMITS (APPROXIMATE)

REACTION MITIGATION AREA BOUNDARY (APPOXIMATE, BASED ON DATA ANALYSIS)

August 26 2026 vs September 30 2026

-10	ft
-1.5	ft
1.5	ft
10	ft

GENERAL DRAWING NOTES:

1. EXISTING TOPOGRAPHIC SURVEY INFORMATION SHOWN WAS PROVIDED BY PROPELLER, DATED OCTOBER 7, 2026.
2. NORTH ARROW SHOWN HERE IS REFERENCE TO THE CALIFORNIA STATE PLANE ZONE V COORDINATE SYSTEM, NAD 83.
3. THE LOCATION OF ANY EXISTING GCCS COMPONENTS AND OTHER FEATURES ARE APPROXIMATE AND SHOULD BE USED FOR INFORMATION PURPOSES ONLY.
4. APPROXIMATED REACTION MITIGATION AREA BOUNDARY ADJUSTMENTS DATED OCTOBER 9, 2026, BASED ON SEPTEMBER 2026 DATA.

NO.	REVISION	DATE

SHEET TITLE: 30 DAY SETTLEMENT MAP

PROJECT TITLE: CHIQUITA CANYON LANDFILL CASTAIC, CALIFORNIA

CLIENT: CHIQUITA CANYON LANDFILL CASTAIC, CALIFORNIA

SCS ENGINEERS
ENVIRONMENTAL CONSULTANTS
3900 KILROY AIRPORT WAY, SUITE 300
LONG BEACH, CA 90806
PH: (562) 426-9544

PROJ. NO: 01204123.45 | DWN. BY: RR | ACAD FILE: NO RECORD/ASBUILT-MASTERS
DSN. BY: - | CHK. BY: - | APP. BY: -

DATE: 10/09/2025

SCALE: AS SHOWN

SHEET: 1

D:\My Stuff_SCSer's\R: Huber\Chiquita LF\2026 30 and 60 Day Settlement (Isopach)\01-DWG\CCLF MASTER EXISTING GCCS MAP_2026-10-09_(30 Day Isopach).dwg Oct 09, 2026 - 1:25pm By: raultramirez



N

GRAPHIC SCALE

200 100 0 200 400 600

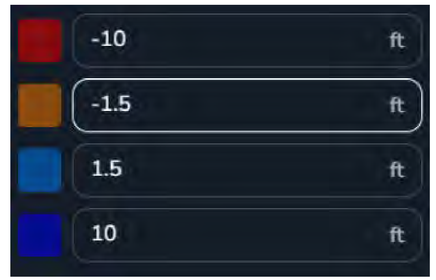
SCALE: 1"=200'

LEGEND

EXISTING CELL LIMITS (APPROXIMATE)

REACTION MITIGATION AREA BOUNDARY (APPOXIMATE, BASED ON DATA ANALYSIS)

July 29 2026 vs September 30 2026



GENERAL DRAWING NOTES:

1. EXISTING TOPOGRAPHIC SURVEY INFORMATION SHOWN WAS PROVIDED BY PROPELLER, DATED OCTOBER 7, 2026.
2. NORTH ARROW SHOWN HERE IS REFERENCE TO THE CALIFORNIA STATE PLANE ZONE V COORDINATE SYSTEM, NAD 83.
3. THE LOCATION OF ANY EXISTING GCCS COMPONENTS AND OTHER FEATURES ARE APPROXIMATE AND SHOULD BE USED FOR INFORMATION PURPOSES ONLY.
4. APPROXIMATED REACTION MITIGATION AREA BOUNDARY ADJUSTMENTS DATED OCTOBER 9, 2026, BASED ON SEPTEMBER 2026 DATA.

NO.	REVISION	DATE

SHEET TITLE: 60 DAY SETTLEMENT MAP

PROJECT TITLE: CHIQUITA CANYON LANDFILL CASTAIC, CALIFORNIA

CLIENT: CHIQUITA CANYON LANDFILL CASTAIC, CALIFORNIA

SCS ENGINEERS
ENVIRONMENTAL CONSULTANTS
3900 KILROY AIRPORT WAY, SUITE 300
LONG BEACH, CA 90806
PH: (562) 426-9544

PROJ. NO: 01204123.45 | DWN. BY: RR | ACAD FILE: NOCAD/ASBUILT-MASTERS
DSN. BY: - | CHK. BY: - | APP. BY: -

DATE: 10/09/2025

SCALE: AS SHOWN

SHEET: 1

D:\My Stuff_SCSer's\R: Huber\Chiquita LF\2026 30 and 60 Day Settlement (Isopach)\01-DWG\CCLF MASTER EXISTING GCCS MAP_2026-10-09_(60 Day Isopach).dwg Oct 09, 2026 - 1:27pm By: raultamirez